

Analiza III R

Wykładowca:
dr hab. Katarzyna Grabowska

Skryba:
Szymon Cedrowski

Spis treści

1	Geometria różniczkowa	4
	Powtórka z Analizy II	4
	Objętość kuli B_n	4
	Pole powierzchni sfery n -wymiarowej	7
	Strumień pola przez ramkę	8
	Lemat Poincare	10
	Forma pierwotna do 1-formy na \mathbb{R}^2	11
	Dowód Lematu Poincare	14
	Szukanie potencjału wektorowego	17
	Wstęp do twierdzenia Stokesa	18
	Twierdzenie Stokesa	19
	Rozmaitość z brzegiem	19
	Gładki rozkład jedności	21
	Dowód twierdzenia Stokesa	22
	Klasyczne wersje twierdzenia Stokesa	23
2	Analiza zespolona	27
	Różniczkowanie w sensie zespolonym	27
	Przekształcenia \mathbb{C} -liniowe	27
	Różniczkowanie	28
	Symbole $\frac{\partial}{\partial z}, \frac{\partial}{\partial \bar{z}}$	31
	Funkcje holomorficzne	31
	Własności funkcji holomorficzych	36
	Dalsze wnioski o funkcjach holomorficzych	38

Rozdział 1

Geometria różniczkowa

Wykład 1: Powtórka z Analizy II

16 paź 2020

Objętość kuli B_n

Obszar całkowania dany jest przez:

$$B_n = \left\{ (x^1, \dots, x^n) : \sum_{n=1}^n (x^i)^2 \leq 1 \right\}$$

Objętość będzie dana przez całkę Riemanna z 1:

$$\int_{B_n} 1 \, dx^1 \, dx^2 \cdots dx^n$$

Jak mamy współrzędne w przestrzeni \mathbb{R}^n to mamy związane z nimi wektory **bazy standardowej** w przestrzeni stycznej: $\mathbb{R}^n(x^1, \dots, x^n) \rightsquigarrow (\partial_1, \dots, \partial_n)$.

Jak całkujemy to jest potrzebna jakaś miara objętości, np. iloczyn skalarny i w bazie st. jest on przyjemną macierzą diagonalną:

$$(\partial_i \mid \partial_j)_{\text{st}} = [g]_{\text{st}} = \text{diag}(1, 1, \dots, 1)$$

Do całkowania jest nam potrzebna również kanoniczna forma objętości $\Omega_n = dx^1 \wedge \cdots \wedge dx^n$ i wtedy przechodzimy z całki Riemanna do obiektu z geometrii różniczkowej:

$$\int_{B_n} dx^1 \cdots dx^n = \int_{(B_n, \iota_+)} \Omega_n$$

Musimy najpierw zamienić zmienne na takie współrzędne wielo-sferyczne. Działają bardzo podobnie jak zwykle biegunowe i sferyczne. A oto algorytm ich tworzenia.

Bierzemy najpierw st: $(x^1, x^2, \dots, x^{n-1}, x^n)$ i ruszając tylko ostatnie dwie zmienne przekształcamy je na biegunowe sf1: $(x^1, \dots, x^{n-2}, r^{n-1}, \phi^{n-1})$ takie, że:

$$\begin{cases} x^{n-1} = r^{n-1} \cos \phi^{n-1} \\ x^n = r^{n-1} \sin \phi^{n-1} \end{cases}$$

Teraz trzeba napisać macierz zamiany zmiennych czyli macierz identyczności z bazy sf1 do st. Wspomnienia z algebry:

Twierdzenie 1 (Zmiana formy dwuliniowej przy zmianie bazy).

$$[g]_{\text{sf1}}^{\text{sf1}} = \left([\text{id}]_{\text{sf}}^{\text{st}} \right)^{\top} [g]_{\text{st}}^{\text{st}} [\text{id}]_{\text{sf}}^{\text{st}}$$

iloczyn skalarny w nowej bazie = macierz zamiany zmiennych[†] · iloczyn skalarny w starej bazie · macierz zamiany zmiennych

Dygresja. Można by tensorowo? Przy przejściu ze współrzędnych (x^1, \dots, x^n) do (x'^1, \dots, x'^n) mamy:

$$g'_{\nu'_1 \nu'_2} = \sum_{\nu_1, \nu_2} g_{\nu_1 \nu_2} \frac{\partial x^{\nu_1}}{\partial x'^{\nu'_1}} \frac{\partial x^{\nu_2}}{\partial x'^{\nu'_2}}$$

Wracając do wcześniejszego liczenia, w układzie biegunowym mamy:

$$\begin{aligned} \partial_r &= \frac{\partial x}{\partial r} \partial_x + \frac{\partial y}{\partial r} \partial_y \\ &= \cos \phi \cdot \partial_x + \sin \phi \cdot \partial_y \\ \partial_\phi &= -r \sin \phi \cdot \partial_x + r \cos \phi \cdot \partial_y \end{aligned}$$

Wówczas w bazie standardowej,

$$[\partial_r]^{\text{st}} = \begin{bmatrix} \cos \phi \\ \sin \phi \end{bmatrix}, \quad [\partial_\phi]^{\text{st}} = \begin{bmatrix} -r \sin \phi \\ r \cos \phi \end{bmatrix}$$

Macierz przejścia z bazy do bazy składa się z wektorów nowej bazy zapisanej w starej bazie, czyli w naszym przypadku:

$$[\text{id}]_{\text{sf1}}^{\text{st}} = \text{diag}(1, \dots, 1) \oplus \begin{bmatrix} \cos \phi^{n-1} & -r^{n-1} \sin \phi^{n-1} \\ \sin \phi^{n-1} & r^{n-1} \cos \phi^{n-1} \end{bmatrix} = M_1$$

Teraz robimy drugą zamianę bazy. Startujemy z sf1. Bierzemy dwie ostatnie współrzędne metryczne x^{n-2} , r^{n-1} i będą nowe współrzędne sf2: $(x^1, \dots, r^{n-2}, \phi^{n-2}, \phi^{n-1})$ takie, że:

$$\begin{cases} x^{n-2} = r^{n-2} \cos \phi^{n-2} \\ r^{n-1} = r^{n-2} \sin \phi^{n-2} \end{cases}$$

przy czym $r^{n-2} \in (0, \infty)$, natomiast w odróżnieniu od $\phi^{n-1} \in (0, 2\pi)$, mamy $\phi^{n-2} \in (0, \pi)$. A jest tak dlatego, że $r^{n-1} > 0$, zatem większe argumenty sinusa by nam to psuły. W przejściu sf1 \rightarrow sf2 zostaje taka sama ostatnia zmienna ϕ^{n-1} zatem

$$[\text{id}]_{\text{sf2}}^{\text{sf1}} = \underbrace{\text{diag}(1, \dots, 1)}_{(n-3) \times (n-3)} \oplus \begin{bmatrix} \cos \phi^{n-2} & -r^{n-2} \sin \phi^{n-2} \\ \sin \phi^{n-2} & r^{n-2} \cos \phi^{n-2} \end{bmatrix} \oplus \text{diag}(1) = M_2$$

Możemy tak zamieniać dalej. Wtedy,

$$\begin{aligned} [g]_{\text{sf2}}^{\text{sf2}} &= M_2^{\top} [g]_{\text{sf1}}^{\text{sf1}} M_2 \\ &= M_2^{\top} M_1^{\top} [g]_{\text{st}}^{\text{st}} M_1 M_2 \\ &= M_2^{\top} M_1^{\top} M_1 M_2 \\ &= M_2^{\top} \left[\underbrace{\text{diag}(1, \dots, 1)}_{n-2} \oplus \text{diag}\left(1, (r^{n-1})^2\right) \right] M_2 \end{aligned}$$

Zauważmy, że to pojedyncze przekształcenie de facto działa nam za każdym razem na jakies dwa elementy z macierzy klatkowej.

$$\begin{aligned} &= \text{diag}\left(1, \dots, 1, (r^{n-2})^2, (r^{n-1})^2\right) \\ &= \text{diag}\left(1, \dots, 1, (r^{n-2})^2, (r^{n-2} \sin \phi^{n-2})^2\right) \end{aligned}$$

Widzimy już co się będzie działo jak będziemy dalej przesuwali sf2 do sf(n-1): $(r, \phi^1, \phi^2, \dots, \phi^{n-1})$, gdzie

$$\begin{cases} x_1 = r \cos \phi^1 \\ r^2 = r \sin \phi^1 \end{cases}$$

Wówczas,

$$\begin{aligned} [g]_{\text{sf}(n-1)}^{\text{sf}(n-1)} &= \begin{bmatrix} \cos \phi^1 & \sin \phi^1 \\ -r \sin \phi^1 & r \cos \phi^1 \end{bmatrix} \text{diag}\left(1, 1, (r^2)^2, \dots, (r^{n-1})^2\right) \begin{bmatrix} \cos \phi^1 & -r \sin \phi^1 \\ \sin \phi^1 & r \cos \phi^1 \end{bmatrix} \\ &= \text{diag}\left(1, r^2, (r \sin \phi^1)^2, (r \sin \phi^1 \sin \phi^2)^2, \dots, (r \sin \phi^1 \sin \phi^2 \dots \sin \phi^{n-2})^2\right) \end{aligned}$$

Teraz bardzo łatwo policzymy wyznacznik macierzy diagonalnej:

$$\sqrt{\det g} = r^{n-1} (\sin \phi^1)^{n-2} \dots (\sin \phi^{n-2})$$

Przypomnijmy sobie pewną całkę:

$$\begin{aligned} \int_0^\pi \sin^n \phi \, d\phi &= -\sin^{n-1} \phi \cos \phi \Big|_0^\pi + (n-1) \int_0^\pi \sin^{n-2} \phi \cos^2 \phi \, d\phi \\ &= (n-1) \int_0^\pi \sin^{n-2} \phi \, d\phi - (n-1) \int_0^\pi \sin^n \phi \, d\phi \end{aligned}$$

Dostajemy wzór rekurencyjny:

$$(*) = \int_0^\pi \sin^n \phi \, d\phi = \frac{n-1}{n} \int_0^\pi \sin^{n-2} \phi \, d\phi$$

Teraz rozważamy względem parzystości:

1. $n = 2k$

$$\begin{aligned} (*) &= \frac{2k-1}{2k} \frac{2k-3}{2k-2} \int_0^\pi \sin^{2k-4} \phi \, d\phi = \frac{(2k-1)(2k-3) \dots 3}{2k(2k-2) \dots 4} \int_0^\pi \sin^2 \phi \, d\phi \\ &= \frac{(2k-1)!!}{2k!!} \pi \end{aligned}$$

2. $n = 2k+1$

$$(*) = \frac{2k!!}{(2k+1)!!} \int_0^\pi \sin \phi \, d\phi = 2 \cdot \frac{2k!!}{(2k+1)!!}$$

Teraz możemy policzyć objętość kuli n -wymiarowej.

$$\Omega_n = r^{n-1} (\sin \phi^1)^{n-2} \cdots (\sin \phi^{n-2}) dr \wedge d\phi^1 \wedge \cdots \wedge d\phi^{n-1}$$

W kategoriach całki Riemanna mamy zamianę zmiennych postaci:

$$dx^1 \cdots dx^n = \det(M_n M_{n-1} \cdots M_2 M_1) dr \cdots d\phi^{n-1}$$

Nie robiliśmy tego w taki sposób, bo bezpośrednie mnożenie tych macierzy zamiany zmiennych jest bardzo kłopotliwe. Z formami różniczkowymi i iloczynem skalarnym wyszło prościej.

$$\begin{aligned} \text{Vol}_{2k} &= \int_0^R r^{2k-1} dr \int_0^\pi (\sin \phi^1)^{2k-2} d\phi^1 \cdots \int_0^\pi \sin \phi^{2k-2} d\phi^{2k-2} \int_0^{2\pi} d\phi^{2k-1} \\ &= \frac{1}{2k} R^{2k} \cdot 2\pi \cdot \left(\text{te wszystkie współczynniki} \right) = R^{2k} \frac{1}{2k} \frac{1}{(2k-2)!!} \pi^k 2^k \\ &= \frac{\pi^k}{k!} R^{2k} \end{aligned}$$

To samo powtarzamy dla przypadku nieparzystego.

$$\text{Vol}_{2k+1} = \frac{\pi^k 2^{k+1}}{(2k+1)!!} R^{2k+1}$$

Pole powierzchni sfery n -wymiarowej

Wygodniej będzie liczyć pole $(n-1)$ -wymiarowej sfery zanurzonej w \mathbb{R}^n .

Przepis na formę objętości:

1. Zanurzenie $S^{n-1} \subset \mathbb{R}^n$
2. Metryka w \mathbb{R}^n
3. Obcięcie formy do S^{n-1}
4. Produkcja formy objętości i całkowanie.

Obcięcie oznacza ustalenie $r = R$. Wtedy przestajemy formę obliczać na wektorze dr i wymiar macierzy spada.

$$g|_{S^{n-1}} = \text{diag}\left(R^2, (R \sin \phi^1)^2, \dots, (R \sin \phi^1 \cdots \sin \phi^{n-2})^2\right)$$

Pole powierzchni sfery to będzie całka z obciętej formy objętości:

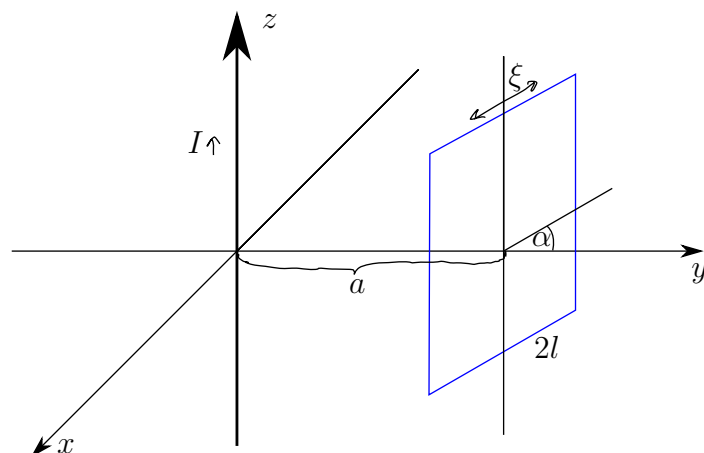
$$S = \int_{(S^{n-1}, i_+)} \Omega = \int_{(S^{n-1}, i_+)} \sqrt{\det g|_{S^{n-1}}} d\phi^1 \wedge \cdots \wedge d\phi^{n-1}$$

Rachunkowo to ta sama całka co poprzednio z pominięciem całki po r , wobec tego

$$= \begin{cases} \frac{2\pi^k}{(k-1)!} R^{2k-1}, & n = 2k \\ \frac{2^{k+1}\pi^k}{(2k-1)!!} R^{2k}, & n = 2k+1 \end{cases}$$

Przy czym pamiętamy, że n to wymiar przestrzeni, w której zanurzamy.

Strumień pola przez ramkę



Rysunek 1.1: ramka

Potencjał wektorowy \vec{A} pola \vec{B} :

$$\vec{A}(x, y, z) = -K \log \sqrt{x^2 + y^2} \frac{\partial}{\partial z}$$

$$\vec{B} = \text{rot } \vec{A}$$

Strumień pola przez powierzchnię liczymy definiując pole normalne \vec{n} , wyznaczamy element powierzchni $d\sigma$ i całkujemy po powierzchni Σ .

$$\int_{\Sigma} (\vec{n} | \vec{x}) d\sigma$$

Wprowadźmy w otoczeniu Σ układ współrzędnych taki jaki byłby wygodny (x^1, \dots, x^n) : $\Sigma = \{x^1 = 0\}$, $\|\partial_{x^1}\| = 1$, $(\partial_{x^1} | \partial_{x^i}) = 0$. Czyli $\vec{n} = \partial_{x^1}$. Wówczas rachunki są prostsze, bo metryka wygląda:

$$g = \begin{bmatrix} 1 & 0 & \cdots & 0 \\ 0 & g_{22} & \cdots & g_{2n} \\ \vdots & \vdots & \ddots & \vdots \\ 0 & g_{2n} & \cdots & g_{nn} \end{bmatrix} \implies d\sigma = \sqrt{\det g} dx^2 \cdots dx^n$$

Weźmy nasze pole $\vec{x} = x^1 \partial_1 + x^2 \partial_2 + \cdots + x^n \partial_n$. Z założenia mamy, że $(\vec{n} | \vec{x}) = x^1$, zatem:

$$\int_{\Sigma} (\vec{n} | \vec{x}) d\sigma = \int_{\Sigma} x^1 \sqrt{\det g} dx^2 \cdots dx^n$$

Używając geometrii różniczkowej można prościej. Mamy powierzchnię zanurzoną $\Sigma \subset \mathbb{R}^n$ i formę objętości $\Omega = \sqrt{\det g} dx^1 \wedge \cdots \wedge dx^n$.

Popatrzmy na pole wektorowe x zwężone z Ω (tensorowo $\Omega_{[a_1 \dots a_n]} x^{a_1}$):

$$x \lrcorner \Omega = \sqrt{\det g} (x^1 dx^2 \wedge \cdots \wedge dx^n - x^2 dx^1 \wedge dx^3 \wedge \cdots \wedge dx^n + \cdots \pm x^n dx^1 \wedge \cdots \wedge dx^{n-1})$$

Zauważmy, że na powierzchni Σ z wyżej wybranymi współrzędnymi $x^1 = 0$, zatem przy obcięciu formy Ω do powierzchni zerują się wszystkie wedge, które zawierają dx^1 .

$$x \lrcorner \Omega|_{\Sigma} = \sqrt{\det g} x^1 dx^2 \wedge \cdots \wedge dx^n$$

Licząc całkę z tej zwężonej formy,

$$\begin{aligned} \int_{(\Sigma,+)} x \lrcorner \Omega &= \int_{(\Sigma,+)} \sqrt{\det g} x^1 dx^2 \wedge \cdots \wedge dx^n \\ &= \int_{\Sigma} x^1 \sqrt{\det g} dx^2 \cdots dx^n \end{aligned}$$

Wyrażenie po lewej stronie jest obiektem czysto geometrycznym i nie zależy od współrzędnych. Możemy więc olać tę metodę ze szczególnym układem i liczyć ten obiekt po lewej.

Wracając do naszego zadania. Mamy liczyć strumień pola $B = \text{rot } A$ czyli chcemy całkować $B \lrcorner \Omega = dG(A)$ (z definicji rotacji A), gdzie $G: TM \rightarrow T^*M$ jest iloczynem skalarnym. Użyjemy współrzędnych walcowych.

$$\begin{cases} x = r \cos \phi \\ y = r \sin \phi \\ z = z \end{cases}, \quad g = \begin{bmatrix} 1 & 0 & 0 \\ 0 & r^2 & 0 \\ 0 & 0 & 1 \end{bmatrix}, \quad \Omega = r dr \wedge d\phi \wedge dz$$

Liczymy $G(A)$ gdzie A było dane w wyżej.

$$\begin{aligned} G(A) &= -K \log r dz \quad (\text{tensorowo } g_{ab} A^a = A_b) \\ dG(A) &= -K \frac{1}{r} dr \wedge dz = K \frac{1}{r} dz \wedge dr \end{aligned}$$

Musimy wprowadzić parametryzację ramki.

$$\begin{cases} y = a + \xi \cos \alpha \\ x = -\xi \sin \alpha \\ z = z \end{cases}, \quad \xi \in [-l, l], z \in [-l, l]$$

Formę zdefiniowaną na całym \mathbb{R}^3 musimy obciąć do samej ramki.

$$\begin{aligned} r^2 &= x^2 + y^2 \\ 2r dr &= 2x dx + 2y dy \\ dr &= \frac{x}{r} dx + \frac{y}{r} dy = \frac{1}{r} (\xi \sin \alpha (d\xi) \sin \alpha + (a + \xi \cos \alpha) d\xi \cos \alpha) \\ &= \frac{1}{r} (a \cos \alpha + \xi) d\xi \end{aligned}$$

Teraz możemy liczyć dalej.

$$\begin{aligned} dG(A) &= K \frac{1}{r} dx \wedge dr \\ dG(A)|_{\Sigma} &= K \frac{1}{r} dz \wedge \left(\frac{1}{r} (a \cos \alpha + \xi) d\xi \right) \\ &= \frac{1}{r^2} K (a \cos \alpha + \xi) dz \wedge d\xi \\ r^2 &= \xi^2 + a^2 + 2a\xi \cos \alpha \end{aligned}$$

Liczymy ostatecznie całkę.

$$\begin{aligned} \int_{(\Sigma,+)} dG(A) &= \int_{\Sigma} -\frac{1}{r^2} K (a \cos \alpha + \xi) d\xi dz \\ &= -\frac{1}{2} \int_{-l}^l dz \int_{-l}^l d\xi K \frac{2a \cos \alpha + 2\xi}{a^2 + 2a\xi \cos \alpha + \xi^2} \end{aligned}$$

Licznik jest pochodną mianownika po ξ . Funkcja nie zależy też od z .

$$\begin{aligned} &= -\frac{1}{2} 2lK \ln(a^2 + 2al \cos \alpha + l^2) \Big|_{-l}^l \\ &= -Kl \ln \left(\frac{a^2 + 2al \cos \alpha + l^2}{a^2 - 2a\xi \cos \alpha + l^2} \right) \\ &= Kl \ln \left(\frac{a^2 + l^2 - 2al \cos \alpha}{a^2 + l^2 + 2al \cos \alpha} \right) \end{aligned}$$

Policzyliśmy strumień pola B bez liczenia pola B . Ale teraz to pole też możemy prosto wyliczyć bo znamy jego ogólną postać ze wzoru ze zwężeniem.

$$B = \frac{K}{r^2} \partial_{\phi} = \frac{K}{r} \vec{e}_{\phi}$$

Wykład 2: Lemat Poincare

19 paź 2020 Niech $\alpha \in \Omega^k(M)$. Jeśli $d\alpha = 0$ to forma jest zamknięta. Jeśli $\alpha = d\beta$ to forma jest zupełna. Poza tym $d^2 = 0$. Stąd **każda forma zupełna jest zamknięta**. Zadamy pytanie czy jest implikacja w drugą stronę oraz jak szukać formy pierwotnej.

Przykład zastosowania B, A oraz $B = \text{rot } A$, czyli $B \lrcorner \Omega = dG(A)$. Zatem szukanie formy pierwotnej sprowadza się do szukania potencjału wektorowego pola. Pole, które może mieć potencjał wektorowy to $d(B \lrcorner \Omega) = \text{div}(B) = 0$, czyli pole, które ma zerową dywergencję. $\text{div } B$ jest formą zamkniętą i ma swój potencjał wektorowy, czyli jest formą zupełną.

$E = \text{grad } \phi$, czyli $G(E) = d\phi$. Forma, która jest różniczką (forma zupełna) ma z kolei zerową rotację. $\text{rot } E \lrcorner \Omega = dG(E) = d^2\phi = 0$.

Przykład motywacyjny

$$\begin{aligned}
\alpha &= \frac{y \, dx - x \, dy}{x^2 + y^2}, \quad \mathbb{R}^2 \setminus \{(0, 0)\} \\
d\alpha &= d\left(\frac{y \, dx}{x^2 + y^2}\right) - d\left(\frac{x \, dy}{x^2 + y^2}\right) \\
&= \frac{x^2 + y^2 - 2y^2}{(x^2 + y^2)^2} dy \wedge dx - \frac{x^2 + y^2 - 2x^2}{(x^2 + y^2)^2} dx \wedge dy \\
&= \frac{1}{(x^2 + y^2)^2} [y^2 - x^2 - y^2 + x^2] dx \wedge dy \\
&= 0
\end{aligned}$$

Forma α jest formą zamkniętą. Czy α jest formą zupełną? Jaka to funkcja?...

Forma pierwotna do 1-formy na \mathbb{R}^2

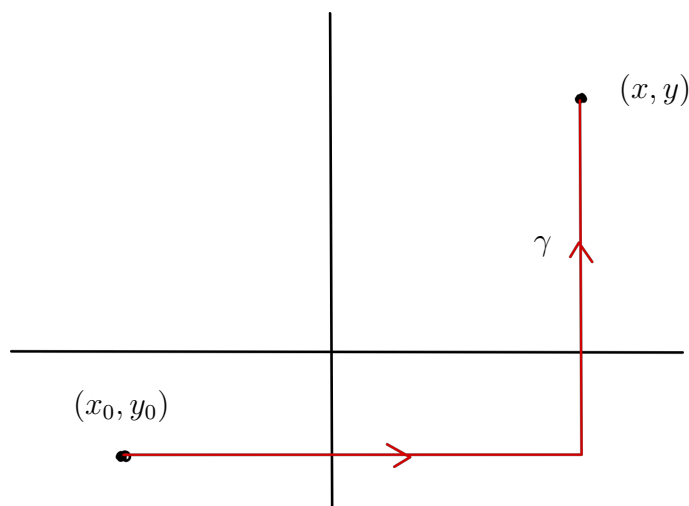
Najpierw najprostszy przypadek. Weźmy 1-formę $\beta \in \Omega^1(\mathbb{R}^2)$, $d\beta = 0$. $f, g \in C^\infty(\mathbb{R}^2)$.

$$\begin{aligned}
\beta &= f(x, y) \, dx + g(x, y) \, dy \\
d\beta &= f_y(x, y) \, dy \wedge dx + g_x(x, y) \, dx \wedge dy \\
&= (g_x - f_y) \, dx \wedge dy
\end{aligned}$$

Stąd jest warunek na zerowanie się formy:

$$g_x = f_y$$

Weźmy $h \in C^\infty(\mathbb{R}^2)$, $dh = \beta$. Proponujemy to jako funkcję pierwotną dla formy β .



Rysunek 1.2: Ścieżka całkowania.

$$h(x, y) = \int_{x_0}^x f(t, y_0) dt + \int_{y_0}^y g(x, t) dt$$

Funkcje podcałkowe są gładkie, zatem są ciągłe i możemy używać twierdzeń dla całek z parametrem.

$$dh = \frac{\partial}{\partial x} \left(\int_{x_0}^x f(t, y_0) dt + \int_{y_0}^y g(x, t) dt \right) dx + \frac{\partial}{\partial y} \left(\int_{x_0}^x f(t, y_0) dt + \int_{y_0}^y g(x, t) dt \right) dy$$

Przy różniczkowaniu funkcji podcałkowych dużo się upraszcza, zatem:

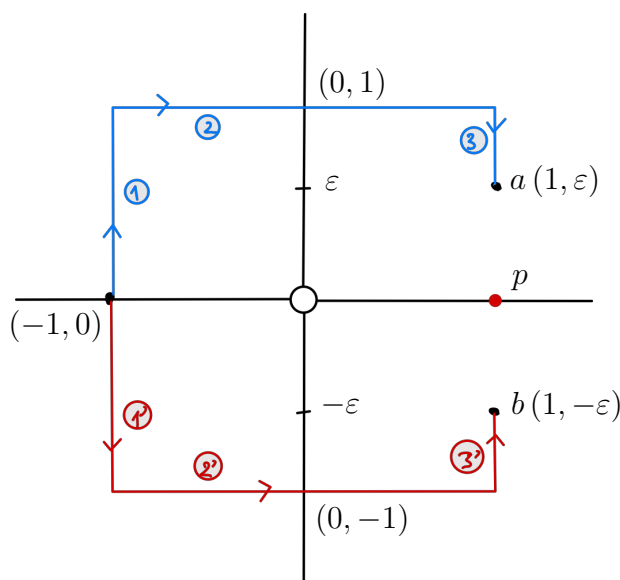
$$= \left[f(x, y_0) + \int_{y_0}^y g_x(x, t) dt \right] dx + [g(x, y)] dy$$

Warunek z góry możemy dać nam $g_x = f_y$.

$$\begin{aligned} &= \left[f(x, y_0) + \int_{y_0}^y f_t(x, t) dt \right] dx + g(x, y) dy \\ &= [f(x, y_0) + f(x, y) - f(x, y_0)] dx + g(x, y) dy \\ &= f(x, y) dx + g(x, y) dy = \beta \end{aligned}$$

Pokazaliśmy, że h jest funkcją pierwotną dla formy β . Przepis na tę formę obejmował całkowanie formy po pewnej arbitralnie ustalonej drodze. Cały rachunek zależał od tego gdzie się postawi (x_0, y_0) . To wskazuje na fakt, że funkcja pierwotna nie jest jednoznacznie wyznaczona. Ustalanie początkowego punktu powoduje zmianę funkcji pierwotnej o stałą.

Teraz pora na jakiś przykład nie istnienia formy pierwotnej.



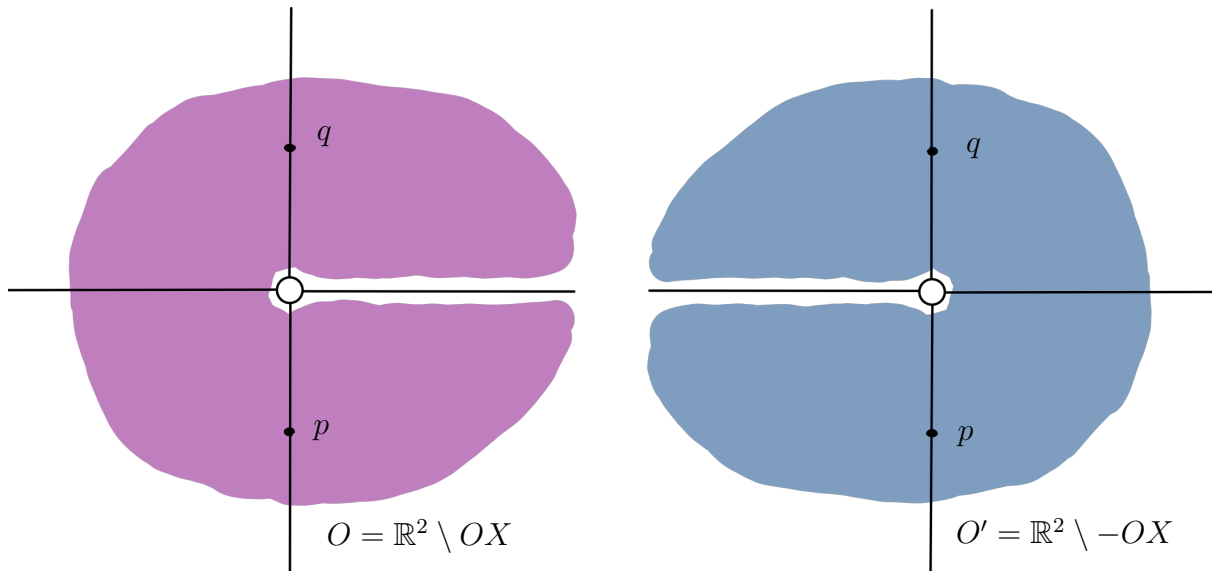
Rysunek 1.3: Dwie równoważne drogi całkowania.

Weźmy formę $\alpha = \frac{y}{r^2} dx - \frac{x}{r^2} dy$. Naturalnie ta forma jest zdefiniowana na $\mathbb{R}^2 \setminus \{0, 0\}$. Liczymy pomocnicze całki.

$$\begin{aligned} \int \frac{y dx}{x^2 + y^2} &= \arctan\left(\frac{x}{y}\right) + C \\ \int \frac{x dy}{x^2 + y^2} &= \arctan\left(\frac{y}{x}\right) + C \\ h(a) &= \underbrace{-\arctan\left(\frac{y}{-1}\right)\bigg|_0^1}_1 + \underbrace{\arctan\left(\frac{x}{1}\right)\bigg|_{-1}^1}_2 - \underbrace{\arctan\left(\frac{y}{1}\right)\bigg|_1^\varepsilon}_3 \\ &= -\arctan(-y)\bigg|_0^1 + \arctan(x)\bigg|_{-1}^1 - \arctan(y)\bigg|_1^\varepsilon \\ &= \pi - \arctan \varepsilon \\ h(b) &= \underbrace{-\arctan(-y)\bigg|_0^{-1}}_{1'} + \underbrace{\arctan(-x)\bigg|_{-1}^1}_{2'} - \underbrace{\arctan(y)\bigg|_{-1}^\varepsilon}_{3'} \\ &= -\pi + \arctan \varepsilon \end{aligned}$$

Teraz dążymy do punktu p , zatem $a, b \xrightarrow{\varepsilon \rightarrow 0} p$. Otrzymujemy $h(a) \rightarrow \pi$ oraz $h(b) \rightarrow -\pi$. Dostajemy różne wyniki, zatem nasz przepis zawiódł. Okazuje się, że niezależnie od wybranego przepisu będzie źle.

Wprowadźmy sobie dwa biegunowe układy współrzędnych na tym obszarze.



Rysunek 1.4: Dwa biegunowe układy współrzędnych.

$$O: \begin{cases} x = r \cos \phi \\ y = r \sin \phi \end{cases}, \phi \in (0, 2\pi), \quad O': \begin{cases} x = r' \cos \phi' \\ y = r' \sin \phi' \end{cases}, \phi' \in (-\pi, \pi)$$

Zauważmy, że nasza forma wyraża się w tych współrzędnych jako: $\alpha = -d\phi = -d\phi'$. Stąd,

$$h_0(r, \phi) = -\phi, \quad h_1(r', \phi') = -\phi'$$

Gdyby istniała funkcja f której szukamy, dobrze określona na całym $\mathbb{R}^2 \setminus \{0, 0\}$ to te funkcje h musiałyby się różnić od f o stałą: $f = h_0 + \phi_0 = h_1 + \phi_1$. Policzmy sobie $f(p)$ i $f(q)$.

$$f(p) = \frac{3\pi}{2} + \phi_0 = -\frac{\pi}{2} + \phi_1$$

$$\phi_1 = \phi_0 + 2\pi$$

$$f(q) = \frac{\pi}{2} + \phi_0 = \frac{\pi}{2} + \phi_1$$

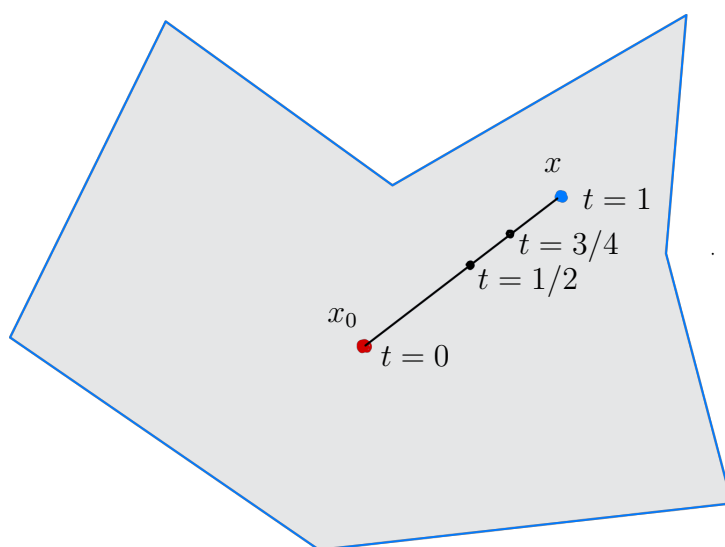
$$\phi_0 = \phi_1$$

To jest sprzeczność. Nie da się więc dobrać takich stałych, aby dostać funkcję określoną na całym \mathbb{R}^2 (dla tej formy). Czyli dla formy α nie istnieje funkcja pierwotna. Widzimy więc, że nie zawsze da się znaleźć formę pierwotną. Muszą być jakieś nietrywialne założenia. Póki co widzimy, że jeśli 1-forma jest określona na całym \mathbb{R}^2 to da się znaleźć funkcję pierwotną, ale jeśli mamy wyjęty punkt $(0, 0)$ to nie musi się dać.

Wykład 3: Dowód Lematu Poincare

23 paź 2020

Definicja 1 (Obszar gwiaździsty). Obszar nazywamy gwiaździstym względem punktu x_0 , jeśli wraz z każdym punktem x zawiera cały odcinek łączący x i x_0 .



Rysunek 1.5: Obszar gwiaździsty.

Twierdzenie 2 (Lemat Poincare). Każda forma zamknięta α : $d\alpha = 0$ na obszarze gwiaździstym w \mathbb{R}^n jest zupełna, czyli $\alpha = d\beta$.
 Wystarczy, żeby zbiór był gwiaździsty względem dowolnego punktu.
 Dla dowolnych powierzchni zbiór musi być ściągalny.

Dowód. Dowód jest konstruktywny, czyli zapewnia nam metodę szukania takich form pierwotnych. Niech O – obszar gwiaździsty w \mathbb{R}^n względem 0 , otwarty. Definiujemy odwzorowanie F :

$$[0, 1] \times O \ni (t, x) \xrightarrow{F} tx \in O$$

Przykładowo, $F(1, \cdot) = \text{id}_O$, $F(0, \cdot) = 0$. Generalnie, F nosi nazwę odwzorowania ściągającego. Potrzebujemy jeszcze odwzorowania na przestrzeni form różniczkowych.

$$\Omega^{k+1}([0, 1] \times O) \xrightarrow{K} \Omega^k(O)$$

Jest to liniowe odwzorowanie ze względu na mnożenie przez liczby (nie przez funkcje). Możemy oddzielnie zdefiniować 2 typy form, które mogą się pojawić.

$$\begin{aligned} a(t, x) dt \wedge dx^{i_1} \wedge \dots \wedge dx^{i_k} \\ b(t, x) dx^{j_1} \wedge \dots \wedge dx^{j_{k+1}} \end{aligned}$$

Dla tego drugiego rodzaju form odwzorowanie znika:

$$K\left(b(t, x) dx^{j_1} \wedge \dots \wedge dx^{j_{k+1}}\right) = 0$$

Dla pierwszego rodzaju,

$$K\left(a(t, x) dt \wedge dx^{i_1} \wedge \dots \wedge dx^{i_k}\right) = \left(\int_0^1 a(t, x) dt\right) dx^{i_1} \wedge \dots \wedge dx^{i_k}$$

Będziemy chcieli udowodnić, że $dK(F^*\alpha) + K(dF^*\alpha) = \alpha$. Teraz po prostu sprawdzamy rachunkowo ten wzór. $\alpha = \alpha(x^1, \dots, x^n) dx^{i_1} \wedge \dots \wedge dx^{i_k} \in \Omega^k(O)$.

Zacniemy od pullbacku formy α .

$$F^*\alpha = \alpha(tx^1, \dots, tx^n) dt x^{i_1} \wedge \dots \wedge \underbrace{dx^{i_k}}_{tdx^{i_k} + x^{i_k}dt}$$

Mamy iloczyn zewnętrzny, zatem pojawiają się wyrazy albo z $1 dt$ albo t w ogóle się nie pojawia.

$$= \underbrace{\alpha(tx) t^k dx^{i_1} \wedge \dots \wedge dx^{i_k}}_{\text{nie daje wkładu do } K} + \sum_{m=1}^k t^{k-1} x^{i_m} (-1)^{m-1} \alpha(tx) dt \wedge \underbrace{dx^{i_1} \wedge \dots \wedge dx^{i_k}}_{\text{bez } i_m}$$

Teraz liczymy następną rzecz:

$$K(F^*\alpha) = \sum_{m=1}^k (-1)^{m-1} \left(\int_0^1 x^{i_m} \alpha(tx) t^{k-1} dt \right) \underbrace{dx^{i_1} \wedge \dots \wedge dx^{i_k}}_{\text{bez } i_m}$$

Teraz różniczkujemy po x :

$$\begin{aligned} dK(F^*\alpha) &= \sum_{n=1}^k \underbrace{(-1)^{m-1}}_{\text{znika}} \left(\int_0^1 \alpha(tx) t^{k-1} dt \right) dx^{i_1} \wedge \cdots \wedge dx^{i_m} \wedge dx^{i_k} \\ &\quad + \sum_{j=1}^n \sum_{m=1}^k (-1)^{m-1} x^{i_m} \left(\int_0^1 t^k \frac{\partial \alpha}{\partial x^j} dt \right) dx^j \wedge \underbrace{dx^{i_1} \wedge \cdots \wedge dx^{i_k}}_{\text{bez } i_m} \\ &= k \left(\int_0^1 \alpha(tx) t^{k-1} dt \right) dx^{i_1} \wedge \cdots \wedge dx^{i_k} + \left(\text{druga część} \right) \end{aligned}$$

Teraz liczymy różniczkę $dF^*\alpha = F^*d\alpha$.

$$\begin{aligned} F^*d\alpha &= F^* \left(\sum_{j=1}^n \frac{\partial \alpha}{\partial x^j} dx^j \wedge dx^{i_1} \wedge \cdots \wedge dx^{i_k} \right) \\ &= t^{k+1} \sum_{j=1}^n \frac{\partial \alpha}{\partial x^j}(tx) dx^j \wedge dx^{i_1} \wedge \cdots \wedge dx^{i_k} + t^k \sum_{j=1}^n \frac{\partial \alpha}{\partial x^j}(tx) x^j dt \wedge dx^{i_1} \wedge \cdots \wedge dx^{i_k} \\ &\quad + t^k \sum_{j=1}^n \sum_{m=1}^k \frac{\partial \alpha}{\partial x^j}(tx) x^{i_m} (-1)^m dt \wedge dx^j \wedge \underbrace{dx^{i_1} \wedge \cdots \wedge dx^{i_k}}_{\text{bez } i_m} \end{aligned}$$

Pierwszy składnik nie daje wkładu do K .

$$\begin{aligned} K(dF^*\alpha) &= \sum_{j=1}^n \left(\int_0^1 x^j t^k \frac{\partial \alpha}{\partial x^j} dt \right) dx^{i_1} \wedge \cdots \wedge dx^{i_k} \\ &\quad + \sum_{j=1}^n \sum_{m=1}^k (-1)^m x^{i_m} \left(\int_0^1 t^k \frac{\partial \alpha}{\partial x^j} dt \right) dx^j \wedge \underbrace{dx^{i_1} \wedge \cdots \wedge dx^{i_k}}_{\text{bez } i_m} \end{aligned}$$

Tak! Jakby jeszcze nie było tego widać, policzyliśmy oba składniki dowodzonej tożsamości. Teraz trzeba je dodać. Te części zawierające podwójne sumy są jednakowe z dokładnością do znaku. W związku z tym, te części mają znak przeciwny. Po dodaniu się zerują. Zostaje wówczas:

$$\begin{aligned} dK(F^*\alpha) + K(dF^*\alpha) &= k \left(\int_0^1 \alpha(tx) t^{k-1} dt \right) dx^{i_1} \wedge \cdots \wedge dx^{i_k} \\ &\quad + \sum_{j=1}^n \left(\int_0^1 x^j t^k \frac{\partial \alpha}{\partial x^j} dt \right) dx^{i_1} \wedge \cdots \wedge dx^{i_k} \\ &= \left\{ \int_0^1 \left[k t^{k-1} \alpha(tx) + t^k \sum_{j=1}^n x^j \frac{\partial \alpha}{\partial x^j} \right] dt \right\} dx^{i_1} \wedge \cdots \wedge dx^{i_k} \\ &= \left\{ \int_0^1 \frac{d}{dt} (t^k \alpha(tx)) dt \right\} dx^{i_1} \wedge \cdots \wedge dx^{i_k} \\ &= t^k \alpha(tx) \Big|_0^1 dx^{i_1} \wedge \cdots \wedge dx^{i_k} \\ &= \alpha(x) dx^{i_1} \wedge \cdots \wedge dx^{i_k} - 0 = \alpha \end{aligned}$$

Dowiedliśmy tego wzoru. Sprawdźmy co, jeśli $d\alpha = 0$. Wówczas,

$$K(dF^*\alpha) = K(F^*d\alpha) = 0$$

W związku z tym,

$$\alpha = dK(F^*\alpha)$$

Otrzymaliśmy więc wzór na formę pierwotną β .

Wniosek 1.

$$\beta = K(F^*\alpha)$$

■

Najlepszą metodą liczenia formy pierwotnej jest jej zgadnięcie. Metoda liczenia z lematu jest ciężka. Policzmy to sobie.

Szukanie potencjału wektorowego

Znaleźć potencjał wektorowy dla pola:

$$B(x, y, z) = (x + y) \frac{\partial}{\partial x} + (x + z) \frac{\partial}{\partial y} + (y - z) \frac{\partial}{\partial z}$$

Mówimy, że B ma potencjał wektorowy jeśli $B = \text{rot } A$. Wiemy, że $\text{rot } A \lrcorner \Omega = dG(A)$. B może więc mieć potencjał wektorowy, gdy $d(B \lrcorner \Omega) = 0$, czyli $(\text{div } B)\Omega = 0$. Policzmy więc dywergencję naszego pola.

$$\text{div } B = \frac{\partial B_x}{\partial x} + \frac{\partial B_y}{\partial y} + \frac{\partial B_z}{\partial z} = 1 + 0 - 1 = 0$$

Pole jest określone na całym \mathbb{R}^3 , możemy więc skorzystać z lematu Poincare. W naszym przypadku pole przerobimy na formę zwięzając je z formą objętości na \mathbb{R}^3 .

$$\omega = B \lrcorner \Omega = (x + y) dy \wedge dz + (x + z) dz \wedge dx + (y - z) dx \wedge dy$$

Szukamy formy pierwotnej do powyższej formy. Forma pierwotna powinna być postaci $K(F^*\omega)$.

$$\begin{aligned} F: [0, 1] \times \mathbb{R}^3 &\ni (t, x, y, z) \mapsto (tx, ty, tz) \in \mathbb{R}^3 \\ F^*\omega &= (tx + ty) d(ty) \wedge d(tz) + (tx + tz) d(tz) \wedge d(tx) + (ty - tz) d(tx) \wedge d(ty) \\ &= t^2(x + y)y dt \wedge dz - t^2(x + y)z dt \wedge dy + t^3(x + y) dy \wedge dz \\ &\quad + t^2(x + z)z dt \wedge dx - t^2(x + z)x dt \wedge dz + t^3(x + z) dz \wedge dx \\ &\quad + t^2(y - z)x dt \wedge dy - t^2(y - z)y dt \wedge dx + t^3(y - z) dx \wedge dy \end{aligned}$$

Wyrażenia bez dt nie dają wkładu do K . Porządkujemy to, co ma dt .

$$\begin{aligned} &= t^2(xy + y^2 - x^2 - xz) dt \wedge dz + t^2(-xz - yz + xy - xz) dt \wedge dy \\ &\quad + t^2(xz + z^2 - y^2 + yz) dt \wedge dx + R(x, y, z) \end{aligned}$$

Liczymy całkę pomocniczą: $\int_0^1 t^2 dt = \frac{1}{3}$.

$$K(F^*\omega) = \frac{1}{3}(xz + z^2 - y^2 + yz) dx + \frac{1}{3}(xy - 2xz - yz) dy + \frac{1}{3}(xy + y^2 - x^2 - xz) dz$$

Teraz należałoby sprawdzić, że to jest dobra forma pierwotna, bo lemat Poincare jest błędenny. Założmy, że to sprawdziliśmy i się zgadza.

Pytano o potencjał wektorowy, więc musimy przejść do postaci wektorowej.

$$A = G^{-1}(\alpha)$$

Na szczęście we współrzędnych kartezjańskich iloczyn G i G^{-1} są takie same, zatem:

$$A = \frac{1}{3}(xz + z^2 - y^2 + yz) \frac{\partial}{\partial x} + \frac{1}{3}(xy - 2xz - yz) \frac{\partial}{\partial y} + \frac{1}{3}(xy + y^2 - x^2 - xz) \frac{\partial}{\partial z}$$

Definicja 2 (Ściąganie do punktu a). Uwaga! Jeśli nie ściągamy do punktu 0, tylko $a \in \mathbb{R}^n$, to odwzorowanie ściągające definiujemy następująco:

$$[0, 1] \times O \ni (t, x) \xrightarrow{F} a + t(x - a) \in O$$

Wstęp do twierdzenia Stokesa

Zacznijmy od rachunku motywacyjnego. Jesteśmy na \mathbb{R}^2 . Biorę jakąkolwiek 1-formę.

$$\begin{aligned}\alpha &= f(x, y) dx + g(x, y) dy \\ d\alpha &= [g_x(x, y) - f_y(x, y)] dx \wedge dy\end{aligned}$$

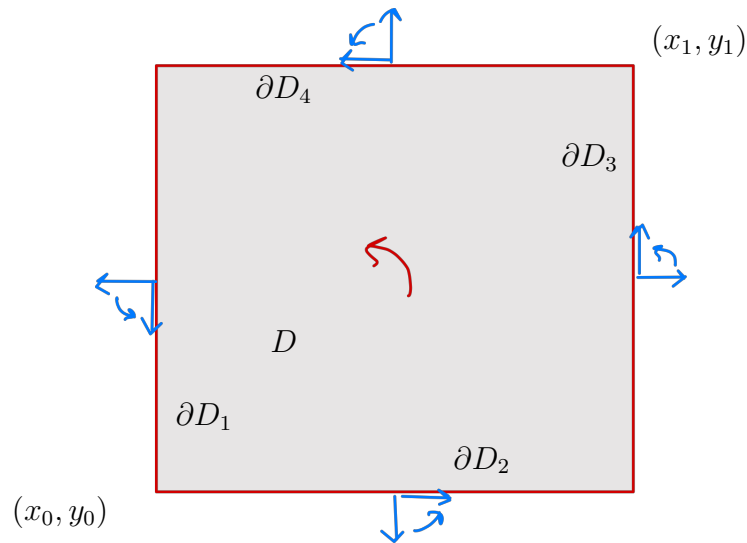
Będziemy liczyli całkę z tej formy po prostokącie.

$$\begin{aligned}\int_{(D,+)} d\alpha &= \int_{(D,+)} [g_x - f_y] dx \wedge dy \\ &= \int_D (g_x - f_y) dx dy \\ &= \int_D g_x dx \wedge dy - \int_D f_y dx dy \\ &= \int_{y_0}^{y_1} dy \int_{x_0}^{x_1} g_x(x, y) dx - \int_{x_0}^{x_1} dx \int_{y_0}^{y_1} f_y dy \\ &= \int_{y_0}^{y_1} dy [g(x_1, y) - g(x_0, y)] - \int_{x_0}^{x_1} dx [f(x, y_1) - f(x, y_0)] \\ &= \int_{y_0}^{y_1} g(x_1, y) dy + \int_{y_1}^{y_0} g(x_0, y) dy + \int_{x_1}^{x_0} f(x_1, y) dx + \int_{x_0}^{x_1} f(x, y_0) dx\end{aligned}$$

Jak się spojrzy to widać, że odpowiednie całki odpowiadają całkowaniu po brzegach naszego prostokąta.

$$= \int_{(\partial D_3, \partial +)} \alpha + \int_{(\partial D_1, \partial +)} \alpha + \int_{(\partial D_4, \partial +)} \alpha + \int_{(\partial D_2, \partial +)} \alpha$$

Orientację dobieramy tak, że pierwszy wektor rysuję na zewnątrz obszaru, dobieram drugi tak by orientacja była taka sama jak wyjściowa, wtedy drugi wektor wskazuje kierunek całkowania.



Rysunek 1.6: prostokąt

Twierdzenie 3 (Twierdzenie Stokesa). Niech M będzie zwartą zorientowaną powierzchnią z brzegiem wymiaru n i niech ω będzie $(n-1)$ -formą na M . Wówczas,

$$\int_{(M, \iota)} d\omega = \int_{(\partial M, \partial \iota)} \omega$$

Wykład 4: Twierdzenie Stokesa

26 paź 2020

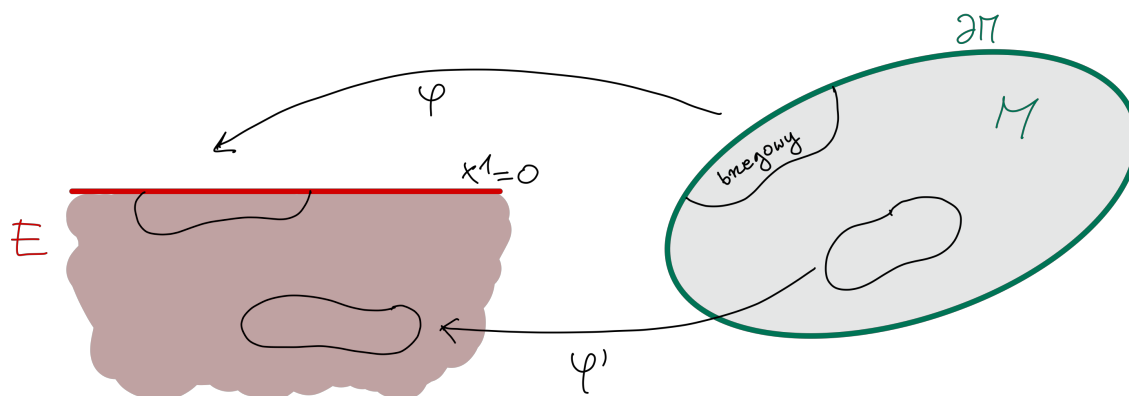
Rozmaitość z brzegiem

Wzorcową rozmaitość z brzegiem nazwalibyśmy podzbiór $E \subset \mathbb{R}^n$: $E = \{(x^1, \dots, x^n) : x^1 \leq 0\}$, gdzie zbiory otwarte w E to zbiory otwarte w \mathbb{R}^n przecięte z E . Brzeg takiej rozmaitości określilibyśmy jako $\partial E = \{x^1 = 0\}$. Możemy mieć dwa typy zbiorów otwartych:

- $O \cap E = O$ (zwykły)
- $U \cap E \neq U$ (zawiera kawałek brzegu)

Dwa typy zbiorów otwartych odpowiadają dwóm typom układów współrzędnych – brzegowy lub wewnętrzny.

Definicja 3 (Gładka rozmaitość z brzegiem). M jest gładką rozmaitością z brzegiem, jeśli dla każdego $q \in M$ istnieją zbiory otwarte $V \subset M$ i $U \subset E$ oraz homeomorfizm $\phi: V \rightarrow U$ taki, że jeśli $V \cap V' \neq \emptyset$, odwzorowanie $\phi' \circ \phi^{-1}$ jest gładkie tam, gdzie określone.



Rysunek 1.7: Rozmaitość z brzegiem.

Wniosek 2. ∂M jest gładką rozmaitością bez brzegu.

Dowód. Jeśli $(V_\alpha, \phi_\alpha)_{\alpha \in A}$ jest atlasem na M , to możemy wybrać tylko te układy brzegowe i zdefiniować otwarte pokrycie brzegu: $(\tilde{V}_\beta, \phi_\beta)_{\beta \in B}$ gdzie $\tilde{V}_\beta = V_\beta \cap \partial M$, $B = \{\alpha \in A : V_\alpha \cap \partial M \neq \emptyset\}$ jest atlasem ∂M . Dostajemy zwyczajną rozmaitość z wymiarem o 1 mniejszym. ■

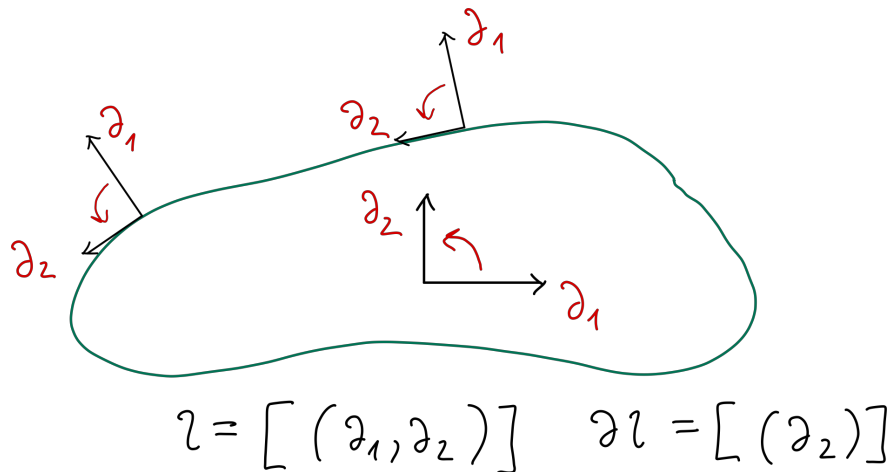
Twierdzenie 4. M jest orientowalna, czyli można wybrać na niej atlas zgodny – takie pokrycie dziedzinami układów współrzędnych, że macierze przejścia między poszczególnymi bazami mają dodatni wyznacznik. Wówczas ∂M też jest orientowalna.

Dowód. Bierzymy dowolne dwa układy brzegowe, o pewnym przecięciu. Obcinamy je do samego brzegu i patrzymy czy wyznacznik macierzy przejścia między nimi jest dodatni. Macierz przejścia to obcięta macierz przejścia między całymi układami na M o cały pierwszy rząd i kolumnę ($x^1 = 0 = y^1$). Skoro cała wyjściowa macierz ma dodatni wyznacznik i a_{11} jest dodatnie, to cała obcięta podmacierz też ma dodatni wyznacznik. ■

Skoro ∂M też jest orientowalna, to opisujemy orientację indukowaną jako tą, która powstaje poprzez usunięcie pierwszych współrzędnych x^1, y^1 .

Definicja 4 (Orientacja indukowana). Posługując się klasami równoważności,

$$\begin{aligned} \iota &= [(\partial_{x^1}, \partial_{x^2}, \dots, \partial_{x^n})] \\ \partial \iota &= [(\partial_{x^2}, \dots, \partial_{x^n})] \end{aligned}$$



Rysunek 1.8: Orientacja 1-wymiarowego brzegu.

Gładki rozkład jedności

Definicja 5. Gładkim rozkładem jedności na M związanym z atlasem $(O_i, \phi_i)_{i \in I}$ nazywamy układ gładkich funkcji $(\alpha_i)_{i \in I}$ o własnościach:

1. $\text{supp } \alpha_i \subset O_i$
2. każdy punkt $q \in M$ ma otoczenie U takie, że $U \cap \text{supp } \alpha_i \neq \emptyset$ jedynie dla skończonej liczby indeksów i .
3. $0 \leq \alpha_i \leq 1, \forall p \in M \sum_{i \in I} \alpha_i(p) = 1$

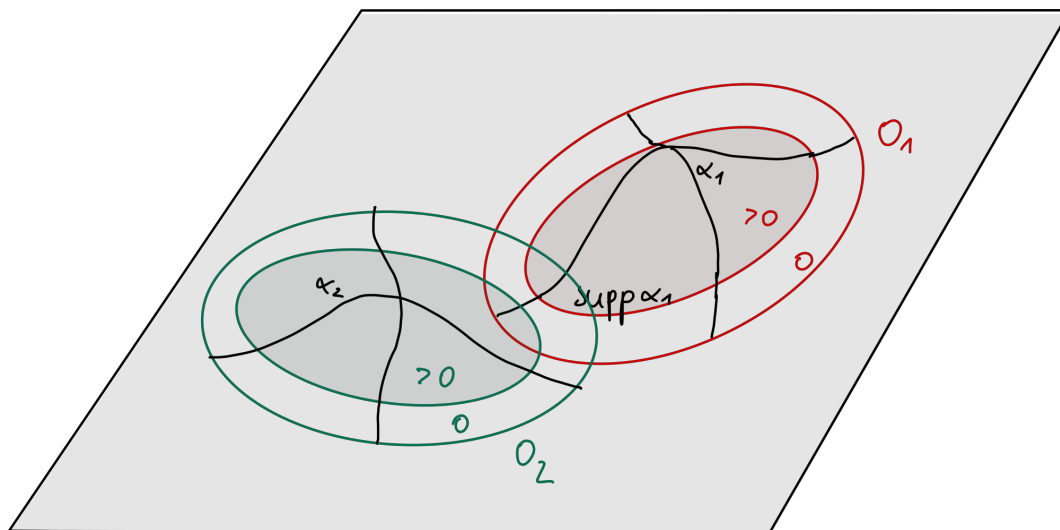
Definicja 6 (Rozmaitość parazwarta). Dla każdego pokrycia otwartego istnieje drobniejsze od niego pokrycie lokalnie skończone – każdy punkt rozmaitości ma otoczenie otwarte, które ma niepusty przekrój jedynie ze skończoną liczbą elementów tego pokrycia.

Twierdzenie 5 (bez dowodu). Na rozmaitości parazwartej istnieje gładki rozkład jedności.

Gładki rozkład jedności może się nam przydać do całkowania po dużych obszarach. Co jeśli obszar całkowania D nie mieści się całkowicie w jednym układzie współrzędnych?

$$\int_{(D, \mathfrak{I})} \omega = \int_{(D, \mathfrak{I})} \omega \sum_{j \in J} \alpha_j = \sum_{j \in J} \int_{(O_j \cap D, \mathfrak{I})} \alpha_j \omega$$

gdzie $O_j \cap D \neq \emptyset$ jedynie dla skończonej liczby indeksów, bo D jest zwarty.



Rysunek 1.9: Gładki rozkład jedności.

Ciekawostka Do konstrukcji gładkich rozkładów jedności używa się funkcji gładkich o zwartym nośniku, takich jak:

$$h(x) = \begin{cases} \exp\left(\frac{1}{(x-1)(x-2)}\right), & x \in (1, 2) \\ 0, & x \notin (1, 2) \end{cases}$$

Dowód twierdzenia Stokesa

Niech M będzie zwartą rozmaitością z brzegiem. $(O_i, \phi_i)_{i \in I}$ jest skończonym atlasem zgodnym, z orientacją. Mamy też odpowiedni rozkład jedności $(\alpha_i)_{i \in I}$.

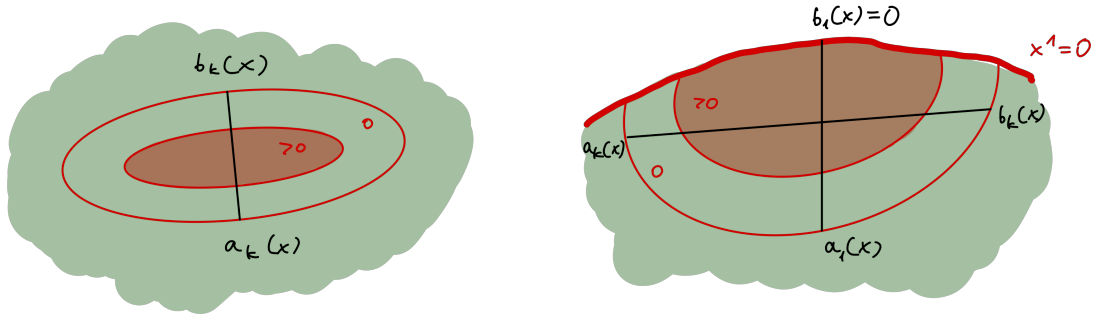
Dowód.

$$\begin{aligned} d\omega &= d(1 \cdot \omega) = d\left(\omega \sum \alpha_i\right) = \sum_i d(\alpha_i \omega) \\ \int_{(M, \iota)} d\omega &= \sum \int_{(O_i, \iota)} d(\alpha_i \omega) \end{aligned}$$

Różniczkowane formy można zapisać w odpowiednich układach współrzędnych. $\alpha_i \omega = f_k^i(x) dx_i^1 \wedge \dots \wedge dx_i^n$, gdzie indeks k oznacza, że nie ma dx_i^k . Dla każdego i liczymy osobno.

$$\begin{aligned} \int_{(\phi_i(O_i), \iota)} d\left(f_k^i(x) dx^1 \wedge \dots \wedge dx^n\right) &= \int_{(\phi_i(O_i), \iota)} \sum_k (-1)^{k-1} \frac{\partial f_k^i}{\partial x^k} dx^1 \wedge \dots \wedge dx^k \wedge \dots \wedge dx^n \\ &= \sum_k (-1)^{k-1} \int_{\phi_i(O_i)} \frac{\partial f_k^i}{\partial x^k} dx^1 \dots dx^n \\ &= \sum_k (-1)^{k-1} \int_{D_k} \underbrace{dx^1 \dots dx^n}_{\text{bez } x^k} \int_{a_k(x^2, \dots)}^{b_k(x^2, \dots)} \frac{\partial f_k^i}{\partial x^k} dx^k = (*) \end{aligned}$$

Jeśli układ współrzędnych jest wewnętrzny, to $f_k^i = 0$ poza zwartym zbiorem, czyli na granicach całkowania. Tak samo wygląda sytuacja, gdy układ jest brzegowy, ale całkujemy po zmiennej innej niż x^1 . Wkład niezerowy dostajemy więc tylko dla układu brzegowego i $k = 1$.



Rysunek 1.10: Możliwe obszary i granice całkowania.

Zobaczmy co się dzieje dla $k = 1$. Wówczas całkować kończymy na brzegu, zatem $b_k(x) = b_1(x) = 0$.

$$\int_{D_1} dx^2 \cdots dx^n \int_{a_1(x)}^{b_1(x)} \frac{\partial f_1^i}{\partial x^1} dx^1 = \int_{D_1} dx^2 \cdots dx^n f_1^i(0, x^2, \dots, x^n)$$

$$\int_{(M,i)} d\omega = \sum_i (*) = \sum_i \int_{\phi_i(O_i) \cap \{x^1=0\}} f_1^i(0, x^2, \dots, x^n) dx^2 \cdots dx^n$$

Rozkład jedności obcięty do brzegu jest rozkładem jedności na brzegu.

$$= \sum_i \int_{(O_i \cap \partial M, \partial i)} (\alpha_i \omega)(0, \dots)$$

$$= \int_{(\partial M, \partial i)} \omega$$

■

Klasyczne wersje twierdzenia Stokesa

Definicja 7 (Klasyczne operatory). Niech $\Omega = \sqrt{\det G} dx^1 \wedge \cdots \wedge dx^n$ będzie formą objętości.

Gradient $\text{grad}(f)$:

$$\text{grad}(f) = G^{-1} \circ df$$

Dywergencja $\text{div}(X)$:

$$\text{div}(X)\Omega = d(X \lrcorner \Omega)$$

Rotacja $\text{rot}(A)$:

$$\text{rot}(A) \lrcorner \Omega = d(G \circ A)$$

Laplasjan Δf :

$$(\Delta f)\Omega = d[(G^{-1} \circ df) \lrcorner \Omega]$$

Twierdzenie Gaussa-Ostrogradskiego-Greena

$$\int_D \text{div } X \, d\vartheta = \int_{\partial D} (\vec{n} \mid X) \, d\sigma$$

gdzie $\dim D = 3$.

Dowód. Przetłumaczamy pojawiające się wyrażenia na język form różniczkowych.

$d\vartheta$ – element objętości, czyli forma objętości Ω ,

$d\sigma$ – element powierzchni, czyli forma objętości na powierzchni związana z $g|_{\partial D}$ i orientacją indukowaną – Σ . Wzór przyjmuje postać:

$$\begin{aligned} \int_{(D,i)} (\text{div } X)\Omega &= \int_{(\partial D, \partial i)} (\vec{n} \mid X)\Sigma \\ \int_{(D,i)} (\text{div } X)\Omega &= \int_{(D,i)} d(X \lrcorner \Omega) \stackrel{\text{Stokes}}{=} \int_{(\partial D, \partial i)} X \lrcorner \Omega \end{aligned}$$

Formy objętości definiujemy we współrzędnych. Wybierzmy współrzędne takie, że w dziedzinie O układu mamy:

$$O \cap \partial D = \{x^1 = 0\}, \quad \vec{n} = \frac{\partial}{\partial x^1}, \quad \left(\frac{\partial}{\partial x^1} \mid \frac{\partial}{\partial x^i} \right) = 0$$

dla $i > 1$. Jeśli nie uda się to na całym D , to korzystamy wówczas z rozkładu jedności.

$$\begin{aligned} \Omega &= \sqrt{\det G} dx^1 \wedge \cdots \wedge dx^n \\ \Sigma &= \sqrt{\det G|_{\partial D}} dx^2 \wedge \cdots \wedge dx^n \end{aligned}$$

Oba wyznaczniki są jednak równe.

$$X \lrcorner \Omega = \sqrt{\det G} (X^1 dx^2 \wedge \cdots \wedge dx^n - X^2 dx^1 \wedge dx^3 \wedge \cdots \wedge dx^n + \cdots)$$

Wszystkie człony z dx^1 są zerowe, bo obcięliśmy do $x^1 = 0$.

$$\begin{aligned}\int_{(\partial D, \partial \iota)} X \lrcorner \Omega &= \int_{(\partial D, \partial \iota)} X^1 \sqrt{\det G} dx^2 \wedge \cdots \wedge dx^n \\ &= \int_{(\partial D, \partial \iota)} (\vec{n} \mid X) \Sigma = \int_{\partial D} (\vec{n} \mid X) d\sigma\end{aligned}$$

■

Klasyczne twierdzenie Stokesa

$$\int_S (\vec{n} \mid \operatorname{rot} X) d\sigma = \int_{\partial S} (\vec{t} \mid X) dl$$

gdzie $\dim S = 2$, \vec{n} jest wektorem normalnym do powierzchni, \vec{t} wektorem stycznym do krzywej będącej brzegiem powierzchni, a dl elementem długości tej krzywej.

Dowód. Dowodząc poprzedniego twierdzenia udało nam się ustalić, że:

$$\int_S (\vec{n} \mid A) d\sigma = \int_{(S, \iota)} A \lrcorner \Omega$$

Weźmy więc $A = \operatorname{rot} X$.

$$\begin{aligned}\int_S (\vec{n} \mid \operatorname{rot} X) d\sigma &= \int_{(S, \iota)} \operatorname{rot} X \lrcorner \Omega = \int_{(S, \iota)} d(G \circ X) \\ &\stackrel{\text{Stokes}}{=} \int_{(\partial S, \partial \iota)} G \circ X\end{aligned}$$

Weźmy dowolny układ współrzędnych i rozpiszmy: $G \circ X = g_{ij} X^i dx^j$. Wybierzmy również parametryzację brzegu, zgodną z orientacją: $I \ni r \mapsto (x^1(r), x^2(r), x^3(r)) \in \partial S$.

$$\int_{(\partial S, \partial \iota)} G \circ X = \int_I g_{ij}(r) X^i(r) \dot{x}^j dr$$

Policzmy jednostkowy wektor styczny \vec{t} i inne pojawiające się wyrażenia:

$$\begin{aligned}\partial_r &= \dot{x}^1 \partial_1 + \dot{x}^2 \partial_2 + \dot{x}^3 \partial_3 = \|\partial_r\| \vec{t} \\ g_{ij} X^i \dot{x}^j &= (X \mid \partial_r) = (X \mid \vec{t}) \|\partial_r\| \\ dl &= \|\partial_r\| dr\end{aligned}$$

Stąd,

$$\int_{(\partial S, \partial \iota)} G \circ X = \int_I (\vec{t} \mid X) \|\partial_r\| dr = \int_{\partial S} (\vec{t} \mid X) dl$$

■

Wzory Greena

$$\begin{aligned}\int_D (\text{grad } f \mid \text{grad } h) \, d\vartheta &= - \int_D f \Delta h \, d\vartheta + \int_{\partial D} f(\vec{n} \mid \text{grad } h) \, d\sigma \\ \int_D (f \Delta h - h \Delta f) \, d\vartheta &= \int_{\partial D} [f(\vec{n} \mid \text{grad } h) - h(\vec{n} \mid \text{grad } f)] \, d\sigma\end{aligned}$$

Dowód. Wzór drugi jest trywialnym następstwem pierwszego, skupimy się więc na udowodnieniu pierwszego z nich.

$$\int_{\partial D} f(\vec{n} \mid \text{grad } h) \, d\sigma = \int_{\partial D} (\vec{n} \mid f \text{ grad } h) \, d\sigma$$

Z twierdzenia, Ostrogradskiego-Greena,

$$= \int_D \text{div}(f \text{ grad } h) \, d\vartheta$$

Przyjrzyjmy się tej dywergencji,

$$\text{div}(fX)\Omega = d[(fX) \lrcorner \Omega] = d[f(X \lrcorner \Omega)] = df \wedge (X \lrcorner \Omega) + f d(X \lrcorner \Omega)$$

Przyjrzyjmy się pewnemu wyrażeniu, które się zaraz przyda:

$$0 = X \lrcorner (df \wedge \Omega) = \langle df, X \rangle \Omega - df \wedge (X \lrcorner \Omega)$$

Stąd, w wyżej rozważanej dywergencji rozpoznajemy,

$$\text{div}(fX)\Omega = \langle df, X \rangle \Omega + f \text{div}(X)\Omega$$

Teraz można przekształcić całkę.

$$\begin{aligned}\int_D \text{div}(f \text{ grad } h) \, d\vartheta &= \int_D \langle df, \text{grad } h \rangle \, d\vartheta + \int_D f \text{div grad } h \, d\vartheta \\ &= \int_D (\text{grad } f \mid \text{grad } h) \, d\vartheta + \int_D f \Delta h \, d\vartheta\end{aligned}$$

■

Rozdział 2

Analiza zespolona

Wykład 5: Różniczkowanie w sensie zespolonym

30 paź 2020

Przekształcenia \mathbb{C} -liniowe

\mathbb{C} można traktować jak dwuwymiarową przestrzeń wektorową nad \mathbb{R} lub jednowymiarową przestrzeń wektorową nad \mathbb{C} . \mathbb{C} jako zbiór to jest \mathbb{R}^2 , zatem:

$$\begin{aligned} f: \mathbb{C} &\rightarrow \mathbb{C} & f(x + iy) &= u(x, y) + iv(x, y) \\ f: \mathbb{R}^2 &\rightarrow \mathbb{R}^2 & f(x, y) &= (u(x, y), v(x, y)) \end{aligned}$$

Jak różniczkować funkcje $\mathbb{R}^2 \rightarrow \mathbb{R}^2$ doskonale wiemy.

$$f(x + \delta x, y + \delta y) = f(x, y) + f'(x, y) \begin{bmatrix} \delta x \\ \delta y \end{bmatrix} + R(\dots)$$

Ta pochodna to jest odwzorowanie $L(\mathbb{R}^2, \mathbb{R}^2)$, czyli macierz 2×2 . Ale można też na to spojrzeć w ujęciu 1-wymiarowej przestrzeni nad \mathbb{C} . Odwzorowania liniowe $\mathbb{C} \rightarrow \mathbb{C}$ polegają na mnożeniu przez liczbę zespoloną: $z \mapsto wz$. Każde odwzorowanie \mathbb{C} -liniowe jest \mathbb{R} -liniowe. Niech $w = a + ib$, $z = x + iy$.

$$x + iy \mapsto (a + ib)(x + iy) = (ax - by) + i(ay + bx)$$

Spróbujmy to zapisać jako mnożenie macierzy.

$$\begin{bmatrix} a & -b \\ b & a \end{bmatrix} \begin{bmatrix} x \\ y \end{bmatrix} = \begin{bmatrix} ax - by \\ ay + bx \end{bmatrix}$$

Czyli odwzorowania \mathbb{C} -liniowe to są szczególne odwzorowania \mathbb{R} -liniowe zapisane takimi macierzami.

$$\begin{aligned} \psi: \mathbb{C} &\rightarrow L(\mathbb{R}^2, \mathbb{R}^2) = M_{2 \times 2}(\mathbb{R}) \\ a + ib &\mapsto \begin{bmatrix} a & -b \\ b & a \end{bmatrix} \end{aligned}$$

Odwzorowanie to ma szczególne własności:

$$\det(\psi(a + ib)) = |a + ib|^2$$
$$\psi(a + ib) = \begin{bmatrix} r & 0 \\ 0 & r \end{bmatrix} \begin{bmatrix} \cos \phi & -\sin \phi \\ \sin \phi & \cos \phi \end{bmatrix}$$

Innymi słowy, jest to skalowanie + obrót, tzn. złożenie jednokładności z obrotem.

Różniczkowanie

Z punktu widzenia rzeczywistego, możemy zapisać:

$$f(x + \delta x + i(y + \delta y)) = f(x + iy) + f'(x + iy) \begin{bmatrix} \delta x \\ \delta y \end{bmatrix} + R(x + iy, \delta x + i\delta y)$$
$$f'(x + iy) = \begin{bmatrix} \frac{\partial u}{\partial x} & \frac{\partial u}{\partial y} \\ \frac{\partial v}{\partial x} & \frac{\partial v}{\partial y} \end{bmatrix}$$

Definicja 8 (Różniczkowalność w sensie rzeczywistym). f jest różniczkowalna w punkcie $z = x + iy$ (w sensie rzeczywistym) jeśli istnieje $f'(z)$, czyli odwzorowanie \mathbb{R} -liniowe $\mathbb{R}^2 \rightarrow \mathbb{R}^2$ takie, że reszta spełnia:

$$\frac{|R(x + iy, \delta x + i\delta y)|}{|\delta x + i\delta y|} \xrightarrow{\delta x + i\delta y \rightarrow 0} 0$$

Definicja 9 (Różniczkowalność w sensie zespolonym). f jest różniczkowalna w sensie zespolonym w $z = x + iy$ jeśli jest różniczkowalna w sensie rzeczywistym i $f'(z)$ jest odwzorowaniem \mathbb{C} -liniowym.

Oznacza to, że:

$$\frac{\partial u}{\partial x} = \frac{\partial v}{\partial y}, \quad \frac{\partial u}{\partial y} = -\frac{\partial v}{\partial x}$$

Te dwie równości nazywamy warunkami Cauchy'ego-Riemanna. Wówczas,

$$\begin{bmatrix} \frac{\partial u}{\partial x} & \frac{\partial u}{\partial y} \\ \frac{\partial v}{\partial x} & \frac{\partial v}{\partial y} \end{bmatrix} \longleftrightarrow \begin{bmatrix} a & -b \\ b & a \end{bmatrix}$$
$$f'(z) = a + ib = \frac{\partial u}{\partial x} + i \frac{\partial v}{\partial x} = \frac{\partial u}{\partial x} - i \frac{\partial u}{\partial y} = \dots$$

Przykład $f: z \mapsto z^2$

$$(x + iy)^2 = \underbrace{(x^2 - y^2)}_{u(x,y)} + i \underbrace{2xy}_{v(x,y)}$$

$$\frac{\partial u}{\partial x} = 2x, \quad \frac{\partial u}{\partial y} = -2y, \quad \frac{\partial v}{\partial x} = 2y, \quad \frac{\partial v}{\partial y} = 2x$$

$$f'(z) = \begin{bmatrix} 2x & -2y \\ 2y & 2x \end{bmatrix}$$

$$f'(z) = 2x + i2y = 2z$$

Czyli de facto,

$$(z^2)' = 2z$$

Czy działa stary wzór na pochodną z granicą ilorazu różnicowego? Na \mathbb{R}^2 iloraz różnicowy niezbyt da się zapisać, ale na \mathbb{C} już tak. Pytamy czy:

$$f'(z) = \lim_{\delta z \rightarrow 0} \frac{f(z + \delta z) - f(z)}{\delta z}$$

Okazuje się, że rzeczywiście ten wzór działa.

Twierdzenie 6. f jest różniczkowalna w sensie zespolonym w punkcie $z \iff$ istnieje granica ilorazu różnicowego. Wówczas granica ta jest pochodną $f'(z)$.

Dowód. Najpierw w prawo.

$$f(z + \delta z) = f(z) + f'(z)\delta z + R(z, \delta z)$$

$$f(z + \delta z) - f(z) = f'(z)\delta z + R(z, \delta z)$$

$$\frac{f(z + \delta z) - f(z)}{\delta z} = f'(z) + \frac{R(z, \delta z)}{\delta z}$$

Teraz chcemy przejść do granicy przy $\delta z \rightarrow 0$. Wiadomo, że wartość bezwzględna tej reszty rzeczywiście dąży do 0.

$$\left| \frac{R(z, \delta z)}{\delta z} \right| \xrightarrow{\delta z \rightarrow 0} 0$$

Jednakże jeśli moduł liczby zespolonej dąży do zera to również sama liczba zespolona dąży do zera. Stąd,

$$\lim_{\delta z \rightarrow 0} \frac{f(z + \delta z) - f(z)}{\delta z} = f'(z)$$

Teraz dowodzimy w drugą stronę. Załóżmy, że:

$$\begin{aligned} w &= \lim_{\delta z \rightarrow 0} \frac{f(z + \delta z) - f(z)}{\delta z} \\ \forall \varepsilon > 0 \exists \Delta > 0: |\delta z| < \Delta &\implies \left| w - \frac{f(z + \delta z) - f(z)}{\delta z} \right| < \varepsilon \\ &\implies \left| \frac{1}{\delta z} (w\delta z - f(z + \delta z) + f(z)) \right| < \varepsilon \\ &\implies \left| \underbrace{f(z + \delta z) - f(z) - w\delta z}_{R(z, \delta z)} \right| < \varepsilon \delta z \end{aligned}$$

Wynika stąd, że $R(z, \delta z) \in K(0, \varepsilon \delta z)$, czyli $\frac{R(z, \delta z)}{\delta z} \in K(0, \varepsilon)$. Oznacza to, że w granicy:

$$\left| \frac{R(z, \delta z)}{\delta z} \right| < \varepsilon$$

Jest to tożsame z warunkiem zanikania reszty, zatem funkcja jest różniczkowalna w sensie rzeczywistym oraz $f'(z) = w$. Ponieważ ta pochodna jest mnożeniem przez liczbę zespoloną to widzimy, że spełniony jest warunek różniczkowalności w sensie zespolonym. ■

Przykłady

$$\begin{aligned} z &\mapsto z^3 \\ \frac{(z + \delta z)^3 - z^3}{\delta z} &= \frac{3z^2\delta z + 3z(\delta z)^2 + (\delta z)^3}{\delta z} = 3z^2 + 3z\delta z + (\delta z)^2 \\ &\rightarrow 3z^2 \end{aligned}$$

Wszystko przebiega tak samo jak było w \mathbb{R} . Sprawdźmy teraz funkcję „specyficzną” zespoloną.

$$\begin{aligned} z &\mapsto \bar{z} \\ \frac{\overline{z + \delta z} - \bar{z}}{\delta z} &= \frac{\bar{z} + \overline{\delta z} - \bar{z}}{\delta z} = \frac{\overline{\delta z}}{\delta z} \end{aligned}$$

I teraz tutaj może być różnie. Jeśli $\delta z = \delta x$, czyli jeśli zmierzamy wzdłuż osi rzeczywistej, to zmierzamy do 1. Jeśli natomiast $\delta z = i\delta y$, to

$$\frac{\overline{\delta z}}{\delta z} = \frac{-i\delta y}{i\delta y} = -1$$

Stąd wniosek, że ta pochodna nie istnieje. W sensie zespolonym funkcja ta nie jest różniczkowalna, natomiast w sensie rzeczywistym jest.

Definicja 10 (Funkcja holomorficzna). Funkcję różniczkowalną w sensie zespolonym w każdym punkcie obszaru otwartego Ω nazywamy holomorficzną na Ω . Zbiór funkcji holomorficzych oznaczamy przez $\mathcal{A}(\Omega)$.

Wniosek 3. Obowiązują „zwykłe” prawa różniczkowania, znane z \mathbb{R} .

Wniosek 4. $f \in \mathcal{A}(\Omega)$ jest bijekcją, to $f^{-1} \in \mathcal{A}(f(\Omega))$.

Z twierdzenia o lokalnej odwracalności dla reprezentacji $\mathbb{R}^2 \rightarrow \mathbb{R}^2$, f^{-1} jest różniczkowalna w sensie rzeczywistym oraz $(f^{-1})'(w) = 1/f'(z)$, $w = f(z)$. Trzeba jeszcze wtedy sprawdzić, że macierz $1/f'(z)$ również odpowiada mnożeniu przez liczbę zespoloną.

Symbole $\frac{\partial}{\partial z}, \frac{\partial}{\partial \bar{z}}$

Będziemy myśleć o $\mathbb{C} = \mathbb{R}^2$. W tym \mathbb{R}^2 mamy kanoniczny układ współrzędnych (x, y) . W każdym punkcie $z = (x, y) = x + iy$ możemy rozważyć przestrzeń styczną $T_z\mathbb{R}^2 = T_z\mathbb{C} = \left\langle \frac{\partial}{\partial x}, \frac{\partial}{\partial y} \right\rangle$. Jest to rzeczywista przestrzeń wektorowa.

Druga interpretacja – wektory styczne to pewne operatory różniczkowania działające na funkcje $\mathbb{R}^2 \rightarrow \mathbb{R}$. Czy da się je rozszerzyć na funkcje o wartościach zespolonych? Musi zachodzić podstawowy warunek:

$$D(fg) = D(f)g + fD(g)$$

Weźmy $f(z) = u(x, y) + iv(x, y)$, $g(z) = U(x, y) + iV(x, y)$. Zdefiniujmy sobie:

$$\frac{\partial}{\partial x}f = \frac{\partial u}{\partial x} + i\frac{\partial v}{\partial x}$$

Zaczynamy sprawdzanie:

$$\begin{aligned} \frac{\partial}{\partial x}(fg) &= \frac{\partial}{\partial x}[(u + iv)(U + iV)] = \frac{\partial}{\partial x}[uU - vV + i(uV + vU)] \\ &= \frac{\partial u}{\partial x}U + u\frac{\partial U}{\partial x} - \frac{\partial v}{\partial x}V - v\frac{\partial V}{\partial x} + i\left[\frac{\partial u}{\partial x}V + u\frac{\partial V}{\partial x} + \frac{\partial v}{\partial x}U + v\frac{\partial U}{\partial x}\right] \\ &= \left(\frac{\partial u}{\partial x} + i\frac{\partial v}{\partial x}\right)U + \left(\frac{\partial u}{\partial x} + i\frac{\partial v}{\partial x}\right)(iV) + (u + iv)\frac{\partial U}{\partial x} + (u + iv)\frac{\partial V}{\partial x}i \\ &= \left(\frac{\partial u}{\partial x} + i\frac{\partial v}{\partial x}\right)(U + iV) + (u + iv)\left(\frac{\partial U}{\partial x} + i\frac{\partial V}{\partial x}\right) \\ &= \frac{\partial f}{\partial x}g + f\frac{\partial g}{\partial x} \end{aligned}$$

Udało nam się więc rozszerzyć $\partial/\partial x$ na funkcje o wartościach w \mathbb{C} .

$T_z\mathbb{C} = \left\langle \frac{\partial}{\partial x}, \frac{\partial}{\partial y} \right\rangle$ zawiera różniczkowania funkcji $\mathbb{C} \rightarrow \mathbb{C}$ różniczkowalnych w sensie rzeczywistym. Teraz rozważamy kompleksyfikację $(T_z\mathbb{C})^{\mathbb{C}} = \left\langle \frac{\partial}{\partial x}, \frac{\partial}{\partial y} \right\rangle_{\mathbb{C}}$ – współczynniki mogą być zespolone. W szczególności mogą użyć innej bazy:

$$\left\langle \frac{\partial}{\partial x} + i\frac{\partial}{\partial y}, \frac{\partial}{\partial x} - i\frac{\partial}{\partial y} \right\rangle$$

Wykład 6: Funkcje holomorficzne

02 lis 2020

Definicja 11 (Kompleksyfikacja). Niech V będzie przestrzenią wektorową nad \mathbb{R} wymiaru $\dim_{\mathbb{R}} V = n$. W iloczynie kartezjańskim $V \times V$ wprowadzamy mnożenie przez liczbę zespoloną:

$$\begin{aligned} (x + iy)(v, w) &= (xv - yw, yv + xw) \\ V^{\mathbb{C}} &= (V \times V, \mathbb{C}, \circ, +) \end{aligned}$$

$$(\mathbb{T}_z\mathbb{C})^{\mathbb{C}} = \left\langle \frac{\partial}{\partial x}, \frac{\partial}{\partial y} \right\rangle = \left\langle \frac{\partial}{\partial x} + i\frac{\partial}{\partial y}, \frac{\partial}{\partial x} - i\frac{\partial}{\partial y} \right\rangle$$

Weźmy $f \in \mathcal{A}(\Omega)$, $f = u + iv$. Liczymy,

$$\begin{aligned} \left(\frac{\partial}{\partial x} + i\frac{\partial}{\partial y} \right)(u + iv) &= \frac{\partial u}{\partial x} + i\frac{\partial u}{\partial y} + i\frac{\partial v}{\partial x} - \frac{\partial v}{\partial y} \\ &= \underbrace{\left(\frac{\partial u}{\partial x} - \frac{\partial v}{\partial y} \right)}_0 + i \underbrace{\left(\frac{\partial u}{\partial y} + \frac{\partial v}{\partial x} \right)}_0 = 0 \\ \left(\frac{\partial}{\partial x} - i\frac{\partial}{\partial y} \right)(u + iv) &= \frac{\partial u}{\partial x} - i\frac{\partial u}{\partial y} = i\frac{\partial v}{\partial x} + \frac{\partial v}{\partial y} \\ &= \left(\frac{\partial u}{\partial x} + \frac{\partial v}{\partial y} \right) + i\left(\frac{\partial v}{\partial x} - \frac{\partial u}{\partial y} \right) \\ &= 2\frac{\partial u}{\partial x} - 2i\frac{\partial u}{\partial y} \\ &= 2f'(z) \end{aligned}$$

Stąd wynika pomysł, by wprowadzić oznaczenie:

$$\begin{aligned} \frac{\partial}{\partial z} &= \frac{1}{2} \left(\frac{\partial}{\partial x} - i\frac{\partial}{\partial y} \right) \\ \frac{\partial}{\partial \bar{z}} &= \frac{1}{2} \left(\frac{\partial}{\partial x} + i\frac{\partial}{\partial y} \right) \end{aligned}$$

Wówczas, $\partial f / \partial z = f'(z)$ oraz $\partial f / \partial \bar{z} = 0$.

$$\begin{aligned} \frac{\partial}{\partial z} \frac{\partial}{\partial \bar{z}} f &= 0 \\ \frac{\partial}{\partial z} \frac{\partial}{\partial \bar{z}} &= \frac{1}{4} \left(\frac{\partial}{\partial x} - i\frac{\partial}{\partial y} \right) \left(\frac{\partial}{\partial x} + i\frac{\partial}{\partial y} \right) \\ &= \frac{1}{4} \left(\frac{\partial^2}{\partial x^2} + \frac{\partial^2}{\partial y^2} + i \left(\frac{\partial^2}{\partial x \partial y} - \frac{\partial^2}{\partial y \partial x} \right) \right) \end{aligned}$$

Pochodne mieszane się zerują, zatem

$$= \frac{1}{4} \Delta$$

Stąd,

$$\Delta f = \Delta u + i\Delta v$$

Część rzeczywista i urojona laplasjanu funkcji holomorficznych znika i takie funkcje u, v na \mathbb{R}^2 nazywamy harmonicznymi.

Jak będzie wyglądała baza dualna? Niech $a, c \in \mathbb{C}$. Nakładamy warunki, by:

$$\begin{aligned} 1 &= \langle a dx + b dy, \partial_z \rangle = \frac{1}{2}(a - ib) \\ 0 &= \langle a dx + b dy, \partial_{\bar{z}} \rangle = \frac{1}{2}(a + ib) \end{aligned}$$

Po rozwiązaniu, $a = 1$, $b = i$ a zatem:

$$dz = dx + i dy$$

Analogicznie,

$$d\bar{z} = dx - i dy$$

Taka jest baza przestrzeni dualnej. Możemy więc myśleć o formach o wartościach zespolonych, całkować je po krzywych. Możemy też różniczkować zewnętrznym. Rozważmy to.

Weźmy $f: \mathbb{C} \rightarrow \mathbb{C}$ różniczkowalną w sensie rzeczywistym.

$$\begin{aligned} df &= d(u(x, y) + iv(x, y)) = \frac{\partial u}{\partial x} dx + \frac{\partial u}{\partial y} dy + i \frac{\partial v}{\partial x} dx + i \frac{\partial v}{\partial y} dy \\ &= \left(\frac{\partial u}{\partial x} + i \frac{\partial v}{\partial x} \right) dx + \left(\frac{\partial u}{\partial y} + i \frac{\partial v}{\partial y} \right) dy \end{aligned}$$

Podmieniamy dx, dy na bazy dualne.

$$\begin{aligned} &= \frac{1}{2} \left[\frac{\partial u}{\partial x} + i \frac{\partial v}{\partial x} - i \frac{\partial u}{\partial y} + \frac{\partial v}{\partial y} \right] dz + \frac{1}{2} \left[\frac{\partial u}{\partial x} + i \frac{\partial v}{\partial x} + i \frac{\partial u}{\partial y} - \frac{\partial v}{\partial y} \right] d\bar{z} \\ &= \left[\frac{\partial u}{\partial z} + i \frac{\partial v}{\partial z} \right] dz + \left[\frac{\partial u}{\partial \bar{z}} + i \frac{\partial v}{\partial \bar{z}} \right] d\bar{z} \\ &= \frac{\partial f}{\partial z} dz + \frac{\partial f}{\partial \bar{z}} d\bar{z} \end{aligned}$$

Widzimy, że algebraicznie to wszystko się nam pięknie zbiera do czegoś co intuicyjnie ma dla nas sens. Co jeśli f byłaby holomorficzna? Wówczas $\partial f / \partial \bar{z} = 0$, zatem

$$df = \frac{\partial f}{\partial z} dz$$

Wiemy już, że możemy różniczkować formy. Zastanówmy się, czy możemy je całkować.

Przykład Weźmy formę/funkcję $f(z) = z^2 dz$. Mamy krzywą γ , będącą ćwiartką okręgu jednostkowego $r(t) = e^{it}$, $t \in [0, \frac{\pi}{2}]$.

$$\begin{aligned} \int_{\gamma} z^2 dz &= \int_0^{\pi/2} (e^{it})^2 d(e^{it}) = \int_0^{\pi/2} e^{2it} i e^{it} dt \\ &= i \int_0^{\pi/2} e^{3it} dt \\ &= i \int_0^{\pi/2} (\cos(3t) + i \sin(3t)) dt \\ &= i \left[\frac{1}{3} \sin(3t) \Big|_0^{\pi/2} - \frac{1}{3} i \cos(3t) \Big|_0^{\pi/2} \right] = -\frac{1}{3} i - \frac{1}{3} \end{aligned}$$

Teraz policzymy różniczkę szczególnej formy – takiej, której współczynnikiem jest funkcja holomorficzna.

$$\begin{aligned} df(z) dz &= d \left[(u(x, y) + iv(x, y))(dx + i dy) \right] \\ &= d[u dx + iu dy + iv dx - v dy] \\ &= -\left(\frac{\partial u}{\partial y} + \frac{\partial v}{\partial x}\right) dx \wedge dy + i\left(\frac{\partial u}{\partial x} - \frac{\partial v}{\partial y}\right) dx \wedge dy \end{aligned}$$

Teraz patrzę, że mam funkcję holomorficzną, czyli:

$$= 0$$

Stąd prosty wniosek.

Wniosek 5. Jeśli $f \in \mathcal{A}(\Omega)$ to $f(z) dz$ jest zamknięta.

Ma to dalekosiężne konsekwencje. Niech $f \in \mathcal{A}(\Omega)$. Bierzemy regularny obszar (nadający się do całkowania – zwarty, z brzegiem kawałkami krzywą gładką) $D \subset \Omega$.

Twierdzenie 7.

$$\oint_{\partial D} f(z) dz = 0$$

Dowód. Z twierdzenia Stokesa:

$$\oint_{\partial D} f(z) dz = \int_{(D,+)} d(f(z) dz) = 0$$

■

Wniosek 6. Niech Ω będzie obszarem jednospójnym. Weźmy $a, z \in \Omega$. $\gamma: a \rightarrow z$. Wówczas,

$$\int_{\gamma} f(z) dz$$

nie zależy od krzywej, tylko od końców krzywej.

$$F(z) = \int_a^z f(\zeta) d\zeta$$

Twierdzenie 8 (Giacinto Morera). Jeśli f jest ciągła na Ω i $\int_a^z f(\zeta) d\zeta$ nie zależy od drogi dla dowolnych $a, z \in \Omega$, to

$$F(z) = \int_a^z f(\zeta) d\zeta$$

jest holomorfczna oraz

$$F'(z) = f(z)$$

Dowód.

$$\begin{aligned} F(z + \delta z) - F(z) &= \int_a^{z+\delta z} f(\zeta) d\zeta - \int_a^z f(\zeta) d\zeta \\ &= \int_z^{z+\delta z} f(\zeta) d\zeta \end{aligned}$$

Niech $\zeta = z + t\delta z$, $t \in [0, 1]$.

$$\begin{aligned} d\zeta &= \delta z dt \\ \frac{F(z + \delta z) - F(z)}{\delta z} &= \frac{1}{\delta z} \int_0^1 f(z + t\delta z) \delta z dt \\ \lim_{\delta z \rightarrow 0} \frac{F(z + \delta z) - F(z)}{\delta z} &= \lim_{\delta z \rightarrow 0} \int_0^1 f(z + t\delta z) dt \end{aligned}$$

Jest to całka zwarta z parametrem. Warunek wejścia z granicą pod znak całki jest taki, żeby f była ciągła jako funkcja trzech zmiennych $(t, \delta x, \delta y)$. Funkcja jest holomorfczna, zatem jest ciągła.

$$\begin{aligned} &= \int_0^1 \lim_{\delta z \rightarrow 0} f(z + t\delta z) dt \\ &= \int_0^1 f(z) dt = f(z) \end{aligned}$$

To kończy dowód. ■

Wniosek 7 (Wzór Cauchy'ego). $f \in \mathcal{A}(\Omega)$, $D \subset \Omega$. $a \in \text{Int}(D)$. Wówczas,

$$2\pi i f(a) = \oint_{\partial D} \frac{f(z)}{z - a} dz$$

Dowód.

$$\begin{aligned} \frac{f(z)}{z - a} &\in \mathcal{A}(\Omega \setminus \{a\}) \\ 0 &= \oint_{\partial D} \frac{f(z)}{z - a} dz + \oint_{\partial K(a,r)} \frac{f(z)}{z - a} dz \\ \oint_{\partial D} \frac{f(z)}{z - a} dz &= \oint_{\partial K(a,r)} \frac{f(z)}{z - a} dz \end{aligned}$$

Niech $z = a + re^{i\phi}$. $dz = rie^{i\phi} d\phi$.

$$\begin{aligned} &= \int_0^{2\pi} \frac{f(a + re^{i\phi})}{a + re^{i\phi} - a} rie^{i\phi} d\phi \\ &= i \int_0^{2\pi} f(a + re^{i\phi}) d\phi \stackrel{\text{def}}{=} F(r) \end{aligned}$$

Ostatnia całka nie zależy od r .

$$\begin{aligned} \lim_{r \rightarrow 0} F(r) &= \lim_{r \rightarrow 0} i \int_0^{2\pi} f(a + re^{i\phi}) d\phi \\ &= i \int_0^{2\pi} f(a) d\phi = 2\pi i f(a) \end{aligned}$$

To kończy dowód. ■

Znając wartości funkcji na brzegu jestem w stanie wyliczyć wartości funkcji holomorficzej w każdym punkcie wewnątrz obszaru! Funkcje holomorficze są bardzo „sztywne”. Wynika stąd na przykład, że nie istnieją funkcje holomorficze o zwartych nośnikach.

Wykład 7: Własności funkcji holomorficzych

06 lis 2020

Zadanie 1 Mamy kontur $C = \{z \in \mathbb{C} : |z + i| = 3\}$. $C = \partial K(-i, 3)$. Orientację nadajemy dodatnią. Obliczyć całkę $\oint_C \frac{\sin z}{z + i} dz$.

$$\oint_C \frac{\sin z}{z + i} dz = \oint_C \frac{\sin z}{z - (-i)} \stackrel{?}{=} 2\pi i \sin(-i)$$

Można użyć twierdzenia Cauchy’ego, jeśli \sin w dziedzinie zespolonej jest holomorficzny. Zapiszmy to w taki sposób,

$$\begin{aligned} \sin(x + iy) &= \sin(x) \cos(iy) + \cos(x) \sin(iy) \\ \sin \alpha &= \frac{e^{i\alpha} + e^{-i\alpha}}{2} \\ \cos \alpha &= \frac{e^{i\alpha} - e^{-i\alpha}}{2i} \end{aligned}$$

Zapostulujmy, że te wzory są również spełnione dla $\alpha \in \mathbb{C}$.

$$\begin{aligned} \cos(iy) &= \frac{e^{-y} + e^y}{2} = \cosh y \\ \sin(iy) &= \frac{e^{-y} - e^y}{2i} = i \sinh y \end{aligned}$$

Stąd,

$$\sin(z) = \underbrace{\sin(x) \cosh(y)}_{u(x,y)} + i \underbrace{\cos(x) \sinh(y)}_{v(x,y)}$$

Sprawdzamy warunki C-R.

$$\begin{aligned}\frac{\partial u}{\partial x} &= \cos x \cosh y, & \frac{\partial u}{\partial y} &= \sin x \sinh y \\ \frac{\partial v}{\partial x} &= -\sin x \sinh y, & \frac{\partial v}{\partial y} &= \cos x \cosh y\end{aligned}$$

Równania C-R są spełnione, zatem tak zdefiniowana funkcja \sin zmiennej zespolonej jest funkcją holomorficzną. Zadanie zatem sprowadza się do policzenia:

$$\begin{aligned}\sin(-i) &= i \sin(i) = -i \sinh(1) = -i \frac{e - e^{-1}}{2} \\ \oint_C \frac{\sin z}{z - (-i)} &= \pi \left(e - \frac{1}{e} \right)\end{aligned}$$

Zadanie 2 Treningowe wstępne zadanie dotyczące funkcji holomorficzych. Mamy daną $v(x, y) = \frac{y}{(x+1)^2 + y^2}$. Sprawdzić, czy v może być częścią urojonej funkcji holomorficzej? Znaleźć tę funkcję.

To sprawdzenie sprowadza się do sprawdzenia czy $\Delta v = 0$, bo jeśli f jest holomorficzną, to jej części Re oraz Im są harmoniczne. Można sprawdzić, że Laplasjan, rzeczywiście się zeruje. Przejdźmy od razu do szukania funkcji. Trzeba sprawdzić $C - R$.

$$\begin{aligned}\frac{\partial v}{\partial x} &= -\frac{\partial u}{\partial y} \\ \frac{\partial v}{\partial x} &= \frac{-2(x+1)y}{[(x+1)^2 + y^2]^2} = -\frac{\partial u}{\partial y} \\ u(x, y) &= \int \frac{2(x+1)y}{[(x+1)^2 + y^2]^2} dy = (x+1) \int \frac{y dy}{[(x+1)^2 + y^2]^2} \\ &= (x+1) \frac{-1}{(x+1)^2 + y^2} + g(x)\end{aligned}$$

Funkcję g można odnaleźć z drugiego zestawu równań $C - R$.

$$\begin{aligned}\frac{\partial v}{\partial y} &= \frac{\partial u}{\partial x} \\ \frac{\partial u}{\partial x} &= g'(x) - \frac{[(x+1)^2 + y^2] - 2(x+1)(x+1)}{[(x+1)^2 + y^2]^2} \\ &= g'(x) - \frac{y^2 - (x+1)^2}{[(x+1)^2 + y^2]^2}\end{aligned}$$

Porównuję z drugą pochodną,

$$\frac{\partial v}{\partial y} = \frac{(x+1)^2 + y^2 - 2y^2}{[\dots]^2} = \frac{(x+1)^2 - y^2}{[\dots]^2}$$

Stąd,

$$\begin{aligned}g'(x) &= 0 \\ g(x) &= z_0 \in \mathbb{C}\end{aligned}$$

Wobec tego, jak wygląda nasza funkcja f ?

$$f(x+iy) = \frac{-(x+1)+iy}{(x+1)^2+y^2} + z_0 = \left| \begin{array}{l} x = \frac{1}{2}(z+\bar{z}) \\ y = \frac{1}{2i}(z-\bar{z}) \end{array} \right| =$$

Powinno dać się to sprowadzić do postaci funkcji od $z \in \mathbb{C}$. Jeśli się nie uda, to znaczy, że gdzieś popełniliśmy błąd. My bądźmy sprytniejsi. Zauważmy, że mianownik to moduł z przesuniętej o 1.

$$= \frac{-\overline{(z+1)}}{(z+1)\overline{(z+1)}} + z_0 = \frac{-1}{z+1} + z_0$$

Funkcja ta jest nie określona w punkcie $z = -1$.

Dalsze wnioski o funkcjach holomorficzych

Weźmy $f \in \mathcal{A}(\Omega)$, $z \in \Omega$ oraz $\gamma(t) = \zeta(t) + i\eta(t)$, $t \in [a, b]$.

$$f(z) = \frac{1}{2\pi i} \oint_{\gamma} \frac{f(\zeta)}{\zeta - z} d\zeta = \frac{1}{2\pi i} \int_a^b \frac{f(\xi(t) + i\eta(t))}{\xi(t) + i\eta(t) - z} (\dot{\xi}(t) + i\dot{\eta}(t)) dt \stackrel{\text{def}}{=} F(x, y)$$

Różniczkując w tym przypadku mogę wejść z operatorem pod znak całki,

$$\begin{aligned} \frac{\partial F}{\partial x} &= \frac{1}{2\pi i} \int_a^b \frac{f(\gamma(t))}{(\gamma(t) - x - iy)^2} \dot{\gamma}(t) dt \\ \frac{\partial F}{\partial y} &= \frac{1}{2\pi i} \int_a^b \frac{f(\gamma(t))}{(\gamma(t) - x - iy)^2} (-1)(-i) \dot{\gamma}(t) dt \\ \frac{\partial f}{\partial z} &= \frac{1}{2} \left(\frac{\partial F}{\partial x} - i \frac{\partial F}{\partial y} \right) = \frac{1}{2\pi i} \oint_{\gamma} \frac{f(\zeta)}{(\zeta - z)^2} d\zeta \end{aligned}$$

Ta pochodna jest różniczkowalna w sposób ciągły w sensie rzeczywistym, ponieważ istnieją wszystkie ciągłe pochodne cząstkowe. Chcemy sprawdzić, czy jest to różniczkowalne w sensie zespolonym. Sprowadza się to do policzenia pochodnej uzyskanego f' po $\partial/\partial\bar{z}$. Okazuje się, że

$$\frac{\partial^2 f}{\partial \bar{z} \partial z} = 0$$

zatem f' jest holomorficzna. Zabawę można kontynuować i otrzymać:

$$f^{(n)}(z) = \frac{n!}{2\pi i} \oint_{\gamma} \frac{f(\zeta)}{(\zeta - z)^{n+1}} d\zeta$$

Wniosek 8. Każda funkcja holomorficzna jest różniczkowalna w sensie zespolonym nieskończenie wiele razy.

Wniosek 9. $f \in \mathcal{A}(\Omega)$, $K(a, r) \subset \Omega$

$$f(a) = \frac{1}{\pi r^2} \int_{K(a, r)} f(x + iy) \, dx \, dy$$

Dowód.

$$\begin{aligned} \int_{K(a, r)} f(x + iy) \, dx \, dy &= \left| \begin{array}{l} z = a + \rho e^{i\phi} \\ x = \operatorname{Re}(a) + \rho \cos \phi \\ y = \operatorname{Im}(a) + \rho \sin \phi \end{array} \right| \\ &= \int_0^r \rho \, d\rho \int_0^{2\pi} f(a + \rho e^{i\phi}) \, d\phi \end{aligned}$$

Teraz zauważamy, że drugą część całki iterowanej można policzyć z twierdzenia Cauchy'ego.

$$f(a) = \frac{1}{2\pi i} \oint_{\partial K(a, r)} \frac{f(\zeta)}{\zeta - a} \, d\zeta = \left| \begin{array}{l} \zeta = a + \rho e^{i\phi} \\ d\zeta = \rho i e^{i\phi} \, d\phi \end{array} \right| = \frac{1}{2\pi} \int_0^{2\pi} f(a + \rho e^{i\phi}) \, d\phi$$

Podstawiając otrzymujemy:

$$\begin{aligned} \int_{K(a, r)} f(x + iy) \, dx \, dy &= \int_0^r \rho \, d\rho \, 2\pi f(a) \\ &= \pi f(a) r^2 \end{aligned}$$

Nazywamy to (kolejnym) twierdzeniem o wartości średniej. ■

Wniosek 10 (Nierówność Cauchy'ego). $f \in \mathcal{A}(\Omega)$, $K(a, r) \subset \Omega$

$$\left| f^{(n)}(a) \right| \leq \frac{n!}{r^n} \sup_{z=a+re^{i\phi}} |f(z)|$$

Dowód. Zapisujemy wzór na n -tą pochodną funkcji holomorficzej dla obszaru będącym naszym kołem.

$$f^{(n)}(a) = \frac{n!}{2\pi i} \oint_{\partial K(a, r)} \frac{f(\zeta)}{(\zeta - a)^{n+1}} \, d\zeta$$

Parametryzujemy okrąg jak zwykle,

$$\begin{aligned} &= \frac{n!}{2\pi i} \int_0^{2\pi} \frac{f(a + re^{i\phi})}{r^{n+1} e^{(i\phi)(n+1)}} r e^{i\phi} \, d\phi \\ &= \frac{n!}{2\pi i r^n} \int_0^{2\pi} f(a + re^{i\phi}) e^{-ni\phi} \, d\phi \end{aligned}$$

Dostawiam moduły i kontynuuję rachunki.

$$\begin{aligned} |f^{(n)}(a)| &= \frac{n!}{2\pi r^n} \left| \int_0^{2\pi} f(a + re^{i\phi}) e^{-ni\phi} d\phi \right| \\ &\leq \frac{n!}{2\pi r^n} \int_0^{2\pi} |f(a + re^{i\phi})| d\phi \\ &\leq \frac{n!}{2\pi r^n} 2\pi \sup_{\partial K} |f(z)| \end{aligned}$$

■

Twierdzenie 9 (Twierdzenie Liouville’a). Funkcja holomorficzna na całym \mathbb{C} i ograniczona jest stała.

Dowód. Niech $M \in \mathbb{R}$ będzie ograniczeniem funkcji, czyli $|f(z)| < M$. Weźmy $\zeta \in \mathbb{C}$ i dowolne $r > 0$.

$$|f^{(n)}(\zeta)| \leftarrow \frac{n!}{r^n} \sup_{z=\zeta+re^{i\phi}} |f(z)| \leq \frac{n!}{r^n} M$$

Ponadto $1/r^n$ jest dowolnie małe, zatem

$$\begin{aligned} 0 \leq |f^{(n)}(\zeta)| &< \text{dowolna liczba} \\ &\text{dodatnia} \\ f^{(n)}(\zeta) &= 0 \end{aligned}$$

Skoro każda pochodna jest zerowa, to f musi być stała.

■

Twierdzenie 10 (Twierdzenie Gaussa). Każdy wielomian o współczynnikach zespolonych stopnia > 0 ma przynajmniej jeden pierwiastek.